

państwowa służba
geologiczna

PROGNOZA SYTUACJI HYDROGEOLOGICZNEJ W STREFACH ZASILANIA I POBORU WÓD PODZIEMNYCH

OD: 01.07.2026
DO: 31.07.2026

WARSZAWA
CZERWIEC 2026



Państwowy Instytut Geologiczny
Państwowy Instytut Badawczy

pgi.gov.pl

06/2026

państwowa służba
geologiczna

PROGNOZA SYTUACJI HYDROGEOLOGICZNEJ W STREFACH ZASILANIA I POBORU WÓD PODZIEMNYCH

OD: 01.07.2026

DO: 31.07.2026

Redaktor naukowy: dr Małgorzata Woźnicka

Opracowanie merytoryczne: mgr Urszula Czarniecka-Januszczuk,
mgr Agnieszka Kowalczyk, dr Anna Kuczyńska, mgr Izabela Stępińska-Drygała,
mgr Dorota Olędzka, mgr Piotr Wesołowski

WARSZAWA
CZERWIEC 2026



Państwowy Instytut Geologiczny
Państwowy Instytut Badawczy

pgi.gov.pl

PROGNOZA SYTUACJI HYDROGEOLOGICZNEJ W STREFACH ZASILANIA I POBORU WÓD PODZIEMNYCH

na okres: 01.07.2026–31.07.2026

Podstawa prawna: ustawa z dnia 20 lipca 2017 r.- Prawo wodne (Dz.U. 2025 poz. 960 z poz. zm.) oraz rozporządzenie Ministra Infrastruktury z dnia 24 października 2023 r. w sprawie ostrzeżeń, prognoz, komunikatów, biuletynów i roczników państwowej służby hydrologiczno-meteorologicznej i państwowej służby geologicznej (Dz.U. 2023 poz. 2430).

Prognoza przedstawia opis przewidywanego rozwoju sytuacji hydrogeologicznej na obszarze kraju w strefach zasilania i poboru wód podziemnych w okresie od 1 do 31 lipca 2026 r. Opracowanie obejmuje analizę w zakresie położenia zwierciadła wód podziemnych, stanu rezerw zasobów zmiennych wód podziemnych oraz zagrożenia hydrogeologicznego.

Strefy zasilania wód podziemnych obejmują blisko 90% obszaru kraju. Zgodnie z aktualną informacją pozyskaną przez państwową służbę geologiczną (PSG) liczba ujęć wód podziemnych, które corocznie działają w ramach poboru rejestrowanego, wynosi w Polsce ponad 21 000. Ok. 85% spośród tych ujęć służy zaopatrzeniu ludności w wodę do spożycia. Według danych GUS wody podziemne stanowią 74% wody przeznaczonej do spożycia przez ludzi i dystrybuowanej sieciami wodociągowymi na obszarze kraju¹. Są również źródłem wód dla zaspokojenia potrzeb gospodarstw domowych w ramach zwykłego korzystania z wód oraz zasilają ekosystemy zależne od wód podziemnych.

Przy założeniu wystąpienia w najbliższych tygodniach niekorzystnych warunków meteorologicznych (deficyt opadów atmosferycznych) niżówka hydrogeologiczna w lipcu 2026 r. może zwiększyć swój zasięg i występować na znacznych obszarach zlokalizowanych głównie we wschodniej, centralnej, południowej i północno-zachodniej części kraju. Zjawisko niżówki o zasięgu regionalnym prognozuje się w obrębie następujących województw: mazowieckiego, podlaskiego, świętokrzyskiego, lubelskiego oraz łódzkiego, dolnośląskiego, opolskiego, śląskiego, małopolskiego, podkarpackiego, wielkopolskiego, kujawsko-pomorskiego, zachodniopomorskiego i pomorskiego.

Lokalnie zwierciadło wód podziemnych pierwszego poziomu wodonośnego może układać się poniżej stanu niskiego ostrzegawczego (SNO) także na innych, niż wymienione powyżej obszarach kraju.

Występowanie zwierciadła wód pierwszego poziomu wodonośnego poniżej poziomu SNO może powodować utrudnienia w zaopatrzeniu w wodę z płytkich ujęć wód podziemnych.

¹ *Ochrona środowiska 2025*. Warszawa: Główny Urząd Statystyczny; 2025. ISSN: 0867-3217.

Prognozy mają na celu wskazanie tendencji rozwoju sytuacji hydrogeologicznej w nadchodzących tygodniach. Na potrzeby niniejszej prognozy wykorzystano wyniki pomiarów głębokości zwierciadła wód podziemnych w punktach sieci obserwacyjno-badawczej państwowej służby geologicznej. Wykorzystano również dostępne dane dotyczące ilości ustalonych zasobów dyspozycyjnych wód podziemnych² oraz Biuletynu Państwowej Służby Hydrologiczno-Meteorologicznej³. Analizy ujęto w skrajne scenariusze prawdopodobnego rozwoju regionalnej sytuacji hydrogeologicznej, w nawiązaniu do możliwych do wystąpienia warunków meteorologicznych.

Określenia bieżącej sytuacji hydrogeologicznej oraz prognozy wystąpienia niżówki hydrogeologicznej dokonano na podstawie interpretacji wyników pomiarów wykonanych w reprezentatywnych punktach sieci obserwacyjno-badawczej wód podziemnych państwowej służby geologicznej. Zastosowano następujące zasady metodyczne:

- Zagrożenie niżówką hydrogeologiczną określono na podstawie odniesienia prognozowanego położenia zwierciadła wód podziemnych (AG) do poziomu granicznego opisywanego zjawiska, tj. stanu niskiego ostrzegawczego (SNO).
- Wskaźnik zmian retencji (Rz), tj. poziomu rezerw odniesionych do najniższego zaobserwowanego w wieloleciu położenia zwierciadła wody (NNG), obliczono według zależności:

$$Rz = \frac{NNG - AG}{\frac{1}{2}(NNG - SNO)}$$

gdzie:

- | | | |
|---------|---|---|
| NNG [m] | - | najniższa roczna wartość głębokości zwierciadła wody z okresu wielolecia; |
| AG [m] | - | średnia miesięczna prognozowana wartość głębokości zwierciadła wody, obliczona dla miesiąca okresu objętego prognozą; |
| SNO [m] | - | stan niski ostrzegawczy (tj. głębokość położenia zwierciadła wody uzasadniająca wprowadzenie stanu zagrożenia hydrogeologicznego) określony jako poziom zwierciadła wody obliczany jako średnia z minimalnych rocznych stanów położenia zwierciadła wody charakteryzujących się wartościami niższymi od wielkości opisanej jako poziom średni niski z wielolecia. |

Wskaźnik zmian retencji określa zmiany wielkości rezerw zasobów zmiennych pierwszego poziomu wodonośnego. Graniczna wartość opisywanego wskaźnika równa jedności przekłada się na poziom odniesienia przypadający na środek przedziału SNO-NNG, czyli przyjęty stan zagrożenia dla użytkowania wód podziemnych, przy założeniu

² <https://www.pgi.gov.pl/psh/zadania-psh/8886-zadania-psh-zasoby-wod-podziemnych.htm>

³ Biuletyn Państwowej Służby Hydrologiczno-Meteorologicznej Nr 3 (296). Instytut Meteorologii i Gospodarki Wodnej - Państwowy Instytut Badawczy; 2026. ISSN: 1730-6124;
Biuletyn Państwowej Służby Hydrologiczno-Meteorologicznej Nr 4 (297). Instytut Meteorologii i Gospodarki Wodnej - Państwowy Instytut Badawczy; 2026. ISSN: 1730-6124;
Biuletyn Państwowej Służby Hydrologiczno-Meteorologicznej Nr 5 (298). Instytut Meteorologii i Gospodarki Wodnej - Państwowy Instytut Badawczy; 2026. ISSN: 1730-6124.

dalszej tendencji spadkowej położenia zwierciadła wody. Prognozy przedstawia się na podstawie analizy wieloletniej charakterystyki trendów położenia zwierciadła płytkich wód podziemnych oraz zmian sezonowych.

W niezaburzonym antropogenicznie środowisku wahania zwierciadła wody podziemnej charakteryzuje wieloletnia quasi-cykliczność. W długich okresach obserwacji – ponad 50-letnich, naturalne położenie zwierciadła nie wykazuje wyraźnego trendu. Jednak w krótszych przedziałach czasowych widoczne są znaczne zmiany, które oznaczają wzrost lub spadek odnawialnych zasobów wód podziemnych. Dla gospodarki wodnej wychwycenie tych okresowych tendencji ma kluczowe znaczenie w ocenie ryzyka związanego z możliwością wystąpienia ekstremalnych stanów wód podziemnych.

Prognoza zmian położenia zwierciadła wody dotyczy wód podziemnych pierwszego, nieizolowanego od powierzchni terenu poziomu wodonośnego o zwierciadle swobodnym, zasilanego bezpośrednio poprzez infiltrację opadów atmosferycznych i zazwyczaj silnie reagującego na zmienność warunków meteorologicznych, hydrologicznych i na antropopresję. Poziom ten ma bezpośredni wpływ na kształtowanie odpływu rzecznoego w przypadku, gdy stan wód powierzchniowych jest zależny od wód podziemnych.

Niepewność długookresowej prognozy sytuacji meteorologiczno-hydrologicznej powoduje, że prognozę zmian położenia zwierciadła wody podziemnej przedstawia się w zależności od wielkości zasilania wód podziemnych według **dwóch scenariuszy** przy założeniu, że:

- w prognozowanym okresie suma opadów atmosferycznych będzie wyższa od średniej wieloletniej i temperatury powietrza będą sprzyjały infiltracji wód opadowych do warstwy wodonośnej – **scenariusz A**;
- w prognozowanym okresie suma opadów atmosferycznych będzie niższa od średniej wieloletniej i/lub temperatury powietrza nie będą sprzyjały infiltracji wód opadowych do warstwy wodonośnej – **scenariusz B**.

Prognozę zmian zasobów i zagrożeń wód podziemnych w tym opracowaniu (część II i III opracowania) przedstawia się wyłącznie dla scenariusza B.

Część I

Prognoza zmian położenia zwierciadła wód podziemnych

Zgodnie ze scenariuszem B w okresie od 1 do 31 lipca 2026 r., według przeprowadzonych analiz, zwierciadło płytkich wód podziemnych na większości obszaru kraju układać się będzie w bezpiecznej strefie wahań. Tym niemniej w województwach: mazowieckim, podlaskim, świętokrzyskim, lubelskim oraz łódzkim, dolnośląskim, opolskim, śląskim, małopolskim, podkarpackim, wielkopolskim, kujawsko-pomorskim, zachodniopomorskim i pomorskim zwierciadło może układać się w strefie poniżej stanu niskiego ostrzegawczego (SNO). Lokalnie takie obniżenia mogą występować również w pozostałych województwach kraju.

W okresie objętym prognozą stosunkowo często na terenie kraju zwierciadło pierwszego poziomu wodonośnego może układać się w strefie stanów SNG-SNO, czyli powyżej wartości ostrzegawczej, a poniżej średniego stanu niskiego z wielolecia. Jednak tego typu sytuacje nie powinny powodować problemów w zaopatrzeniu w wodę.

Lokalizację punktów sieci obserwacyjno-badawczej wód podziemnych, dla których wykonano symulacje rozwoju sytuacji hydrogeologicznej przedstawia rysunek nr 1.



Objaśnienia:

- punkt sieci obserwacyjno-badawczej wód podziemnych i jego numer
- granica województw

Regiony wodne	
Banówki	Metuje
Bugu	Morawy
Czadeczkі	Narwi
Czarnej Orawy	Niemna
Dniestru	Noteci
Dolnej Odry i Przymorza Zachodniego	Orlicy
Dolnej Wisły	Warty
Górnej Odry	Łąby i Ostrożnicy (Upa)
Górnej-Wschodniej Wisły	Łyny i Węgorapy
Górnej-Zachodniej Wisły	Środkowej Odry
Iżery	Środkowej Wisły
Małej Wisły	Świeżej

Rys. 1. Lokalizacja punktów sieci obserwacyjno-badawczej wód podziemnych, dla których wykonano symulacje rozwoju sytuacji hydrogeologicznej

W tabeli nr 1 zestawiono wyniki prognozy w odniesieniu do położenia zwierciadła wody względem stanów charakterystycznych i oceny stopnia zagrożenia niżówką hydrogeologiczną w analizowanych punktach sieci obserwacyjno-badawczej PIG-PIB. Województwa wymieniono w porządku alfabetycznym. Przedstawione dane dotyczą wariantu prognozy opisanej jako scenariusz B.

Tab. 1. Prognozowane, uśrednione położenie zwierciadła wody względem stanów charakterystycznych (kolumna nr 4) i ocena stopnia zagrożenia niżówką hydrogeologiczną (kolumna nr 5) dla analizowanych punktów sieci obserwacyjno-badawczej PIG-PIB na okres: 1–31.07.2026 r. według scenariusza B

Województwo	Miejscowość	Nr punktu**	Położenie zw. wody	Stopień zagrożenia	Śr. prędkość spadku zw. wody w lipcu [m/m-c]	P [%]*
1	2	3	4	5	6	7
dolnośląskie	Tłumaczów	II/1160/1	poniżej SNO	wysoki	0.07	57
dolnośląskie	Lasów	<u>II/1164/1**</u>	poniżej SNO	wysoki	0.14	62
dolnośląskie	Zgorzelec	II/1165/1	poniżej SNO	wysoki	0.17	52
dolnośląskie	Kamień Górski	II/1203/1	SNG-SSG	niski	0.05	83
dolnośląskie	Posadowice	II/1228/1	SNG-SSG	niski	0.05	92
dolnośląskie	Szklarska Poręba	II/1762/1	poniżej SNO	wysoki	0.41	77
dolnośląskie	Różanka	II/1775/1	poniżej SNO	wysoki	0.04	50
dolnośląskie	Goliszów	II/1856/1	SNG-SNO	umiarkowany	0.02	73
dolnośląskie	Piława Górna	II/601/1	powyżej SSG	bardzo niski	0.30	46
dolnośląskie	Białobrzecze	II/732/1	SNG-SNO	umiarkowany	0.18	78
dolnośląskie	Szczawno - Zdrój	II/744/1	poniżej SNO	wysoki	0.53	73
dolnośląskie	Stary Wielisław	II/747/1	SNG-SNO	umiarkowany	0.32	77
dolnośląskie	Bogdaszowice	II/914/1	poniżej SNO	wysoki	0.04	76
kujawsko-pomorskie	Jagodowo	<u>I/257/4**</u>	poniżej SNO	wysoki	0.09	85
kujawsko-pomorskie	Przedbórz	II/1271/1	poniżej SNO	wysoki	0.19	85
kujawsko-pomorskie	Kąkol	II/1583/1	poniżej SNO	wysoki	0.02	78
kujawsko-pomorskie	Skrzynki	II/178/1	poniżej SNO	wysoki	0.11	62
kujawsko-pomorskie	Solec Kujawski	II/185/1	poniżej SNO	wysoki	0.09	60
kujawsko-pomorskie	Mokry Las	II/1875/1	SNG-SSG	niski	0.06	78
kujawsko-pomorskie	Szubin	II/527/1	poniżej SNO	wysoki	0.06	66
kujawsko-pomorskie	Rozwarzyn	II/906/1	SNG-SSG	niski	0.07	50
lubelskie	Sadurki	<u>II/327/1**</u>	poniżej SNO	wysoki	0.16	83
lubelskie	Giełczew - Doły	II/331/1	poniżej SNO	wysoki	0.31	80
lubelskie	Koszarsko	II/334/1	SNG-SNO	umiarkowany	0.18	89
lubelskie	Woźuczyn	II/338/1	SNG-SNO	umiarkowany	0.05	50
lubelskie	Poizdów	II/509/1	poniżej SNO	wysoki	0.03	77
lubelskie	Siemień	II/510/1	SNG-SNO	umiarkowany	0.15	72
lubelskie	Wola Uhruska	II/514/1	SNG-SNO	umiarkowany	0.41	85
lubelskie	Żmudź	II/516/1	poniżej SNO	wysoki	0.59	92
lubelskie	Łabunie	II/519/1	poniżej SNO	wysoki	0.12	83
lubelskie	Babin	II/561/1	poniżej SNO	wysoki	0.09	89

Województwo	Miejscowość	Nr punktu**	Położenie zw. wody	Stopień zagrożenia	Śr. prędkość spadku zw. wody w lipcu [m/m-c]	P [%]*
1	2	3	4	5	6	7
lubelskie	Borki	II/572/1	poniżej SNO	wysoki	0.04	80
lubelskie	Manie	II/575/1	poniżej SNO	wysoki	0.15	>95
lubelskie	Międzyleś	II/576/1	SNG-SNO	umiarkowany	0.30	84
lubelskie	Podedwórze	II/578/1	poniżej SNO	wysoki	0.16	89
lubelskie	Bronowice	II/582/1	poniżej SNO	wysoki	0.21	85
lubuskie	Rudnica	I/650/2	SNG-SSG	niski	0.06	77
lubuskie	Wysokie	I/910/2	SNG-SNO	umiarkowany	0.10	61
lubuskie	Dobrzyń	<u>II/1139/1</u> **	poniżej SNO	wysoki	0.21	47
lubuskie	Iłowa	II/1191/1	SNG-SNO	umiarkowany	0.11	42
lubuskie	Czartów	<u>II/1539/1</u> **	SNG-SSG	niski	0.08	75
lubuskie	Szprotawa	II/1860/1	SNG-SNO	umiarkowany	0.06	82
lubuskie	Nowe Żabno	II/736/2	poniżej SNO	wysoki	0.08	72
łódzkie	Grodzisk	II/1075/1	poniżej SNO	wysoki	0.03	68
łódzkie	Marcelów	<u>II/1288/2</u> **	SNG-SSG	niski	0.07	58
łódzkie	Jadwinówka	II/1348/1	poniżej SNO	wysoki	0.10	80
łódzkie	Przedbórz	II/1377/1	poniżej SNO	wysoki	0.15	29
łódzkie	Sulejów	<u>II/1391/1</u> **	poniżej SNO	wysoki	0.09	80
łódzkie	Przerąb	II/1400/1	SNG-SNO	umiarkowany	0.12	70
łódzkie	Wrzeszczewice	II/1731/1	SNG-SNO	umiarkowany	0.13	83
łódzkie	Saków	II/1867/1	SNG-SSG	niski	0.16	80
łódzkie	Kamieńsk	II/281/1	powyżej SSG	bardzo niski	0.10	67
łódzkie	Masłowice	II/316/1	SNG-SSG	niski	0.10	64
łódzkie	Lubocz	II/319/1	poniżej SNO	wysoki	0.11	67
małopolskie	Jabłonka	I/847/1	SNG-SNO	umiarkowany	0.05	71
małopolskie	Otfinów	II/1657/1	poniżej SNO	wysoki	0.14	71
małopolskie	Bielcza	II/1658/1	SNG-SSG	niski	0.24	60
małopolskie	Zakliczyn	II/1678/1	SNG-SNO	umiarkowany	0.21	69
małopolskie	Broszkowice	II/1715/1	SNG-SSG	niski	0.09	63
małopolskie	Facimiech	II/750/1	SNG-SSG	niski	0.25	84
małopolskie	Kraków	<u>II/771/1</u> **	SNG-SSG	niski	0.03	58
małopolskie	Lubasz	II/832/1	SNG-SSG	niski	0.13	80
małopolskie	Pcim	<u>II/838/1</u> **	poniżej SNO	wysoki	0.25	50
małopolskie	Piwniczna - Zdrój	II/844/1	poniżej SNO	wysoki	0.37	59
małopolskie	Bukowno	II/938/1	powyżej SSG	bardzo niski	0.42	68
mazowieckie	Brwinów	I/211/4	poniżej SNO	wysoki	0.17	70
mazowieckie	Granica	I/960/2	SNG-SNO	umiarkowany	0.17	82
mazowieckie	Wymyśle Polskie	II/1072/1	poniżej SNO	wysoki	0.07	95
mazowieckie	Wincentów	II/1073/1	poniżej SNO	wysoki	0.07	63
mazowieckie	Kamion	II/1076/1	poniżej SNO	wysoki	0.08	88
mazowieckie	Grędzice	II/1260/1	poniżej SNO	wysoki	0.12	92
mazowieckie	Iłża	II/1380/1	SNG-SNO	umiarkowany	0.12	76
mazowieckie	Kazimierki	II/1385/1	poniżej SNO	wysoki	0.05	65
mazowieckie	Białobrzegi	II/1386/1	poniżej SNO	wysoki	0.15	56

Województwo	Miejscowość	Nr punktu**	Położenie zw. wody	Stopień zagrożenia	Śr. prędkość spadku zw. wody w lipcu [m/m-c]	P [%]*
1	2	3	4	5	6	7
mazowieckie	Kozienice	II/1388/1	poniżej SNO	wysoki	0.09	85
mazowieckie	Ciepielów	II/1398/1	poniżej SNO	wysoki	0.09	65
mazowieckie	Łęg Starościński	II/1441/1	SNG-SSG	niski	0.13	80
mazowieckie	Sypniewo	II/1446/1	poniżej SNO	wysoki	0.12	80
mazowieckie	Parciaki - Stacja	II/1448/1	poniżej SNO	wysoki	0.09	65
mazowieckie	Płock	II/172/1	poniżej SNO	wysoki	0.07	65
mazowieckie	Kaliska	II/1723/1	poniżej SNO	wysoki	0.17	85
mazowieckie	Pętkowo Wielkie	II/1726/1	poniżej SNO	wysoki	0.16	85
mazowieckie	Chrzczanka Włociańska	II/1781/1	SNG-SSG	niski	0.17	70
mazowieckie	Sulęcín Szlachecki	II/1782/1	poniżej SNO	wysoki	0.09	80
mazowieckie	Łysów	II/20/1	poniżej SNO	wysoki	0.09	73
mazowieckie	Łaskarzew	II/3/1	SNG-SNO	umiarkowany	0.20	67
mazowieckie	Aleksandrów	II/368/1	poniżej SNO	wysoki	0.05	45
mazowieckie	Lipsko	II/369/1	SNG-SNO	umiarkowany	0.04	58
mazowieckie	Goździków	<u>II/392/1**</u>	poniżej SNO	wysoki	0.27	73
mazowieckie	Guzów	II/396/1	SNG-SSG	niski	0.39	71
mazowieckie	Kresy	II/497/1	poniżej SNO	wysoki	0.08	67
mazowieckie	Seredzice	II/557/1	SNG-SNO	umiarkowany	0.04	82
mazowieckie	Sierpc	II/79/1	poniżej SNO	wysoki	0.04	76
mazowieckie	Nowe Iganie	II/964/2	poniżej SNO	wysoki	0.06	92
mazowieckie	Wólka Radzymińska	II/975/1	SNG-SNO	umiarkowany	0.12	91
mazowieckie	Okuniew	II/977/1	poniżej SNO	wysoki	0.14	92
mazowieckie	Płońsk	II/98/1	powyżej SSG	bardzo niski	0.08	74
mazowieckie	Gościszka	II/998/1	powyżej SSG	bardzo niski	0.05	83
opolskie	Wrzoski	<u>I/911/5**</u>	SNG-SSG	niski	0.07	77
opolskie	Stara Kuźnia	I/925/4	poniżej SNO	wysoki	0.10	78
opolskie	Gadzowice	II/1208/1	SNG-SNO	umiarkowany	0.05	57
opolskie	Bliszczycze	II/1209/1	SNG-SNO	umiarkowany	0.12	67
opolskie	Borki Wielkie	II/1345/1	poniżej SNO	wysoki	0.11	71
opolskie	Zawadzkie	II/1733/1	poniżej SNO	wysoki	0.12	86
opolskie	Łącznik	<u>II/633/1**</u>	poniżej SNO	wysoki	0.10	78
opolskie	Chróścice	II/916/1	poniżej SNO	wysoki	0.06	62
opolskie	Karłowiczki	II/918/1	SNG-SNO	umiarkowany	0.07	74
podkarpackie	Turza	II/1089/1	poniżej SNO	wysoki	0.10	81
podkarpackie	Miękisz Nowy	II/1532/1	poniżej SNO	wysoki	0.22	83
podkarpackie	Jasienica Rosielna	II/1665/1	SNG-SNO	umiarkowany	0.15	60
podkarpackie	Mielec	II/491/1	SNG-SSG	niski	0.11	68
podkarpackie	Werchrała	II/551/1	poniżej SNO	wysoki	0.16	83
podkarpackie	Wierzawice	II/553/1	powyżej SSG	bardzo niski	0.07	65
podkarpackie	Pysznica	<u>II/559/1**</u>	poniżej SNO	wysoki	0.22	54
podkarpackie	Dębiny	II/599/2	poniżej SNO	wysoki	0.35	76
podkarpackie	Strzyżów	II/800/1	SNG-SNO	umiarkowany	0.11	74
podkarpackie	Lesko	<u>II/815/1**</u>	SNG-SSG	niski	0.21	55

Województwo	Miejscowość	Nr punktu**	Położenie zw. wody	Stopień zagrożenia	Śr. prędkość spadku zw. wody w lipcu [m/m-c]	P [%]*
1	2	3	4	5	6	7
podkarpackie	Rabe	II/821/1	powyżej SSG	bardzo niski	0.05	47
podlaskie	Sejny Kolonia	II/1245/1	poniżej SNO	wysoki	0.06	65
podlaskie	Boksze Stare	II/1249/1	poniżej SNO	wysoki	0.08	81
podlaskie	Lipsk	II/1445/1	poniżej SNO	wysoki	0.06	78
podlaskie	Morgowniki	II/1447/1	poniżej SNO	wysoki	0.24	70
podlaskie	Liza Stara	<u>II/1810/2**</u>	poniżej SNO	wysoki	0.06	83
podlaskie	Gugny	II/1818/2	SNG-SNO	umiarkowany	0.23	86
podlaskie	Kozioł	II/231/1	poniżej SNO	wysoki	0.09	74
podlaskie	Sobolewo	II/862/1	poniżej SNO	wysoki	0.03	>95
podlaskie	Wólka Terechowska	II/866/1	poniżej SNO	wysoki	0.07	92
podlaskie	Waliby	II/967/1	poniżej SNO	wysoki	0.05	69
pomorskie	Gdańsk	II/1569/2	SNG-SSG	niski	0.06	50
pomorskie	Maszewko	II/1574/1	SNG-SNO	umiarkowany	0.07	95
pomorskie	Borucino	<u>II/1750/1**</u>	SNG-SSG	niski	0.03	58
pomorskie	Okragła Łąka	II/205/1	SNG-SNO	umiarkowany	0.12	57
pomorskie	Wąglikowice	II/222/1	SNG-SNO	umiarkowany	0.04	59
pomorskie	Rzeczénica	<u>II/532/1**</u>	poniżej SNO	wysoki	0.23	88
pomorskie	Łysomiczki	II/544/1	SNG-SNO	umiarkowany	0.04	86
śląskie	Podlesie	I/470/1	SNG-SNO	umiarkowany	0.47	82
śląskie	Morusy	I/476/2	poniżej SNO	wysoki	0.30	81
śląskie	Krzanowice	II/1211/1	SNG-SSG	niski	0.02	65
śląskie	Jaskrów	II/131/1	SNG-SNO	umiarkowany	0.31	56
śląskie	Częstochowa	II/1346/1	poniżej SNO	wysoki	0.04	76
śląskie	Ciasna	<u>II/1351/1**</u>	poniżej SNO	wysoki	0.13	65
śląskie	Zawada Pilicka	II/1401/1	poniżej SNO	wysoki	0.17	45
śląskie	Nędza	II/1632/1	SNG-SNO	umiarkowany	0.11	74
śląskie	Gołysz	II/1710/1	SNG-SSG	niski	0.11	76
śląskie	Mazańcowice	II/1711/1	SNG-SSG	niski	0.11	50
śląskie	Piasek	<u>II/1712/1**</u>	SNG-SSG	niski	0.16	53
śląskie	Konieczpol	II/294/1	SNG-SNO	umiarkowany	0.14	60
śląskie	Goleniowy	II/296/1	SNG-SSG	niski	0.18	80
śląskie	Żarnowiec	II/487/1	SNG-SNO	umiarkowany	0.16	73
śląskie	Wieprz	II/779/1	poniżej SNO	wysoki	0.13	39
śląskie	Tuczawa	II/937/1	powyżej SSG	bardzo niski	0.20	59
śląskie	Świerklaniec	II/941/1	SNG-SNO	umiarkowany	0.34	76
śląskie	Żeliszawice	II/953/1	poniżej SNO	wysoki	0.38	92
świętokrzyskie	Białowieża	I/336/5	poniżej SNO	wysoki	0.17	78
świętokrzyskie	Nałęczów	I/390/4	poniżej SNO	wysoki	0.13	73
świętokrzyskie	Kaplica	I/474/2	SNG-SNO	umiarkowany	0.04	53
świętokrzyskie	Bodzentyn	II/1376/1	poniżej SNO	wysoki	0.33	71
świętokrzyskie	Ostrowiec Świętokrzyski	II/1382/1	poniżej SNO	wysoki	0.14	43
świętokrzyskie	Januszewice	II/1390/1	poniżej SNO	wysoki	0.21	70
świętokrzyskie	Suków	II/372/1	poniżej SNO	wysoki	0.21	85

Województwo	Miejscowość	Nr punktu**	Położenie zw. wody	Stopień zagrożenia	Śr. prędkość spadku zw. wody w lipcu [m/m-c]	P [%]*
1	2	3	4	5	6	7
świętokrzyskie	Kurozwęki	II/373/1	poniżej SNO	wysoki	0.08	66
świętokrzyskie	Chmielnik	II/377/1	SNG-SNO	umiarkowany	0.05	73
świętokrzyskie	Michałów	II/379/1	poniżej SNO	wysoki	0.29	72
świętokrzyskie	Wolica	II/382/1	SNG-SNO	umiarkowany	0.32	73
świętokrzyskie	Skarbka	II/492/1	poniżej SNO	wysoki	0.09	67
świętokrzyskie	Bocheniec	II/499/1	poniżej SNO	wysoki	0.18	62
świętokrzyskie	Ściegna	<u>II/875/1**</u>	poniżej SNO	wysoki	0.52	81
świętokrzyskie	Kielce	II/876/1	poniżej SNO	wysoki	0.19	62
warmińsko-mazurskie	Doba	<u>I/537/4**</u>	powyżej SSG	bardzo niski	0.06	89
warmińsko-mazurskie	Mikołajki	II/1435/1	SNG-SSG	niski	0.06	87
warmińsko-mazurskie	Muszaki	II/1438/1	SNG-SSG	niski	0.05	85
warmińsko-mazurskie	Zieleniec	II/1440/1	SNG-SNO	umiarkowany	0.10	68
warmińsko-mazurskie	Pisanica	II/1451/1	SNG-SSG	niski	0.12	90
warmińsko-mazurskie	Kośmidry	II/1454/1	SNG-SNO	umiarkowany	0.06	65
warmińsko-mazurskie	Karczowiska Górne	II/1565/1	SNG-SSG	niski	0.11	65
warmińsko-mazurskie	Łoskajmy	II/1578/1	SNG-SSG	niski	0.04	78
warmińsko-mazurskie	Samborowo	II/217/1	SNG-SSG	niski	0.09	47
warmińsko-mazurskie	Bartoszyce	II/244/1	SNG-SSG	niski	0.04	70
warmińsko-mazurskie	Kobuły	II/250/1	poniżej SNO	wysoki	0.05	60
warmińsko-mazurskie	Buczyniec	II/256/1	powyżej SSG	bardzo niski	0.09	51
warmińsko-mazurskie	Groszkowo	II/986/1	SNG-SNO	niski	0.05	82
wielkopolskie	Czachurki	<u>I/428/4**</u>	poniżej SNO	wysoki	0.09	76
wielkopolskie	Sepno	<u>I/920/4**</u>	SNG-SSG	niski	0.09	55
wielkopolskie	Łuszczewo	II/1273/1	poniżej SNO	wysoki	0.11	73
wielkopolskie	Sowia Góra	II/1324/1	SNG-SNO	umiarkowany	0.02	60
wielkopolskie	Brudzewek	II/1426/1	SNG-SNO	umiarkowany	0.06	89
wielkopolskie	Konin	II/27/3	SNG-SSG	niski	0.12	62
wielkopolskie	Obrzycko	II/404/1	poniżej SNO	wysoki	0.18	81
wielkopolskie	Leszno	II/743/1	SNG-SNO	umiarkowany	0.04	70
wielkopolskie	Chachalnia	II/749/1	SNG-SNO	umiarkowany	0.07	64
wielkopolskie	Koło	II/902/1	SNG-SNO	umiarkowany	0.12	77
zachodniopomorskie	Świnoujście	I/1090/1	SNG-SSG	niski	0.09	64
zachodniopomorskie	Gądnio	II/1032/1	SNG-SNO	umiarkowany	0.04	83
zachodniopomorskie	Wicewo	II/1041/1	SNG-SSG	niski	0.09	76
zachodniopomorskie	Krzypnica	II/1101/1	SNG-SNO	umiarkowany	0.09	80

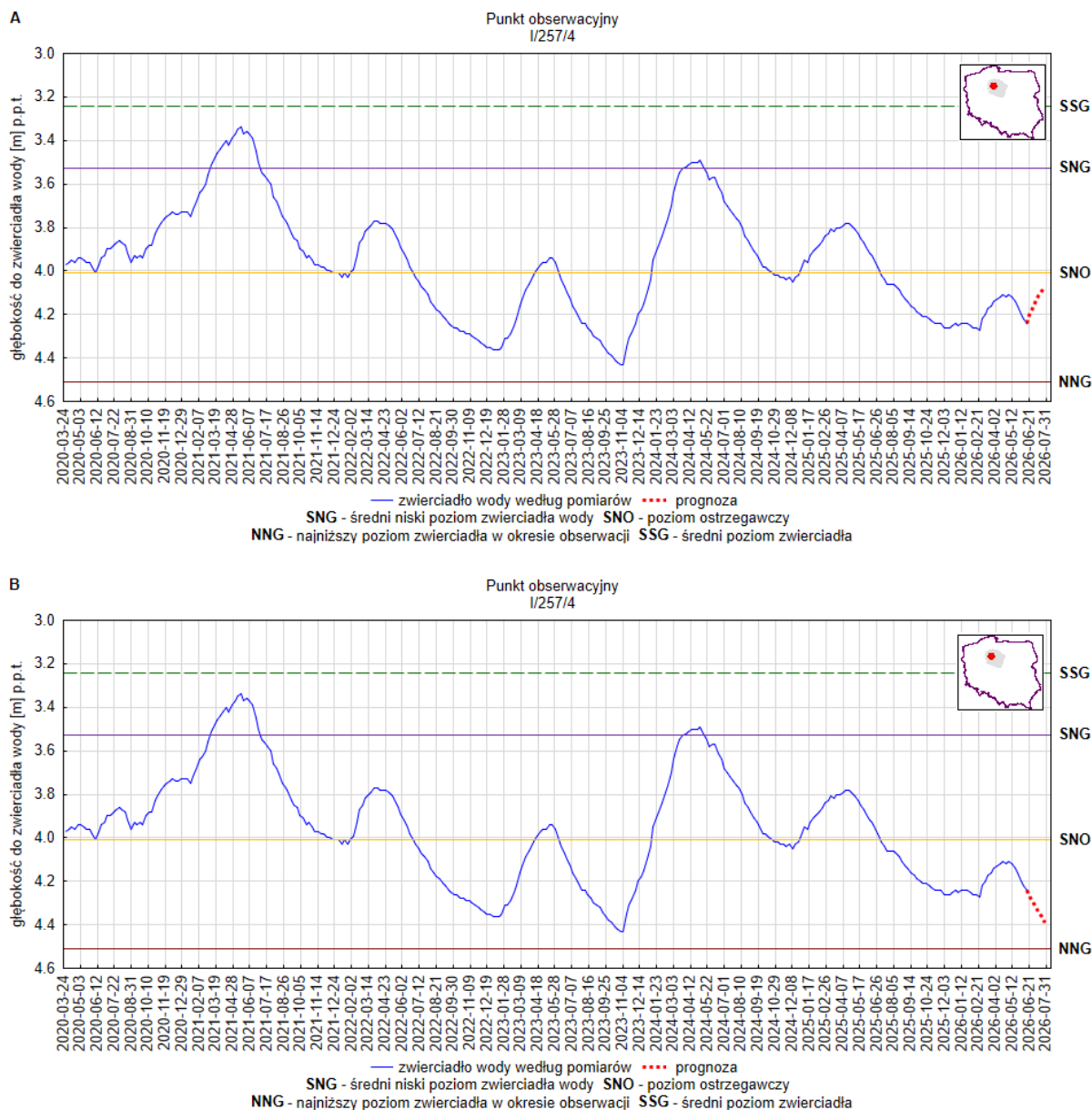
Województwo	Miejscowość	Nr punktu**	Położenie zw. wody	Stopień zagrożenia	Śr. prędkość spadku zw. wody w lipcu [m/m-c]	P [%]*
1	2	3	4	5	6	7
zachodniopomorskie	Koszewko	II/1103/1	poniżej SNO	wysoki	0.06	79
zachodniopomorskie	Ognica	<u>II/1105/1</u> **	SNG-SSG	niski	0.16	50
zachodniopomorskie	Okole	II/1344/1	poniżej SNO	wysoki	0.04	92
zachodniopomorskie	Szczecin	II/1702/1	SNG-SSG	niski	0.09	75
zachodniopomorskie	Krępsko	II/1759/1	SNG-SNO	umiarkowany	0.12	77
zachodniopomorskie	Imno	II/1800/1	poniżej SNO	wysoki	0.12	82
zachodniopomorskie	Biały Zdrój	II/1801/1	SNG-SNO	umiarkowany	0.03	75
zachodniopomorskie	Polanów	II/415/1	poniżej SNO	wysoki	0.02	67
zachodniopomorskie	Turowo	<u>II/417/1</u> **	poniżej SNO	wysoki	0.08	73
zachodniopomorskie	Rzędziny	II/469/1	SNG-SSG	niski	0.16	73

* obliczone prawdopodobieństwo dla trendu spadkowego położenia zwierciadła w prognozowanym okresie, zgodnie ze scenariuszem B

** numer punktu, dla którego zamieszczono wykresy położenia zwierciadła wody w dalszej części opisu prognozy

Dla każdego województwa dla wybranych stacji hydrogeologicznych przedstawiono ilustrację graficzną w postaci wykresów z wynikami symulacji rozwoju sytuacji hydrogeologicznej według scenariuszy: A i B (Rys. 2-26). Zamieszczone wykresy obejmują jedynie fragment całego okresu obserwacji w danych punktach monitoringowych i przedstawiają zapis ograniczony do pomiarów z ostatnich sześciu lat.

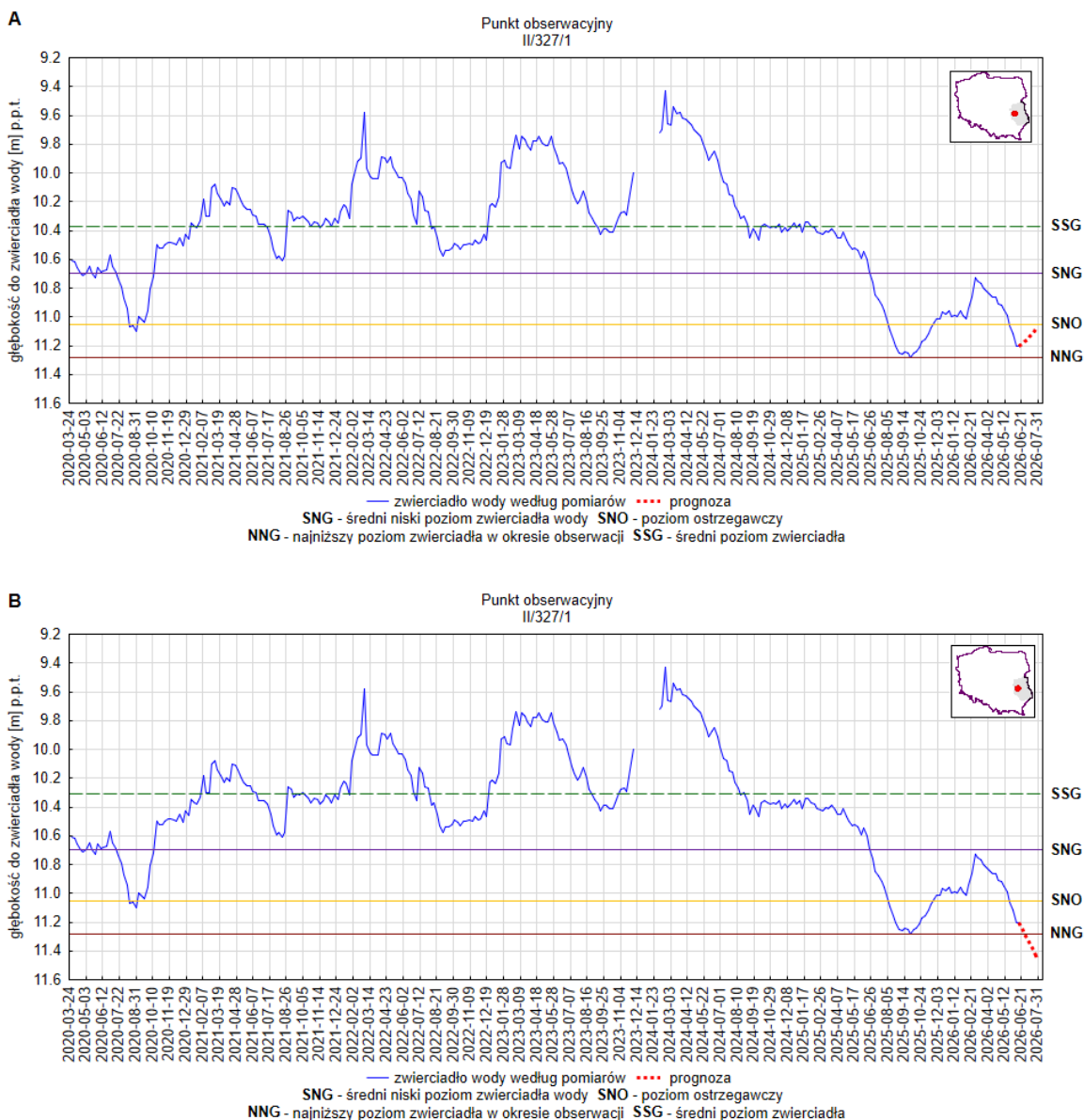
Województwo kujawsko-pomorskie



Rys. 3. Prognoza dotycząca stanu wód o zwierciadle swobodnym (gruntowych) na okres 01.07.2026–31.07.2026 r. – stacja hydrogeologiczna nr I/257/4 w miejscowości Jagodowo (woj. kujawsko-pomorskie). **A** – prognoza przy założeniu scenariusza A; **B** – prognoza przy założeniu scenariusza B

W punkcie obserwacyjnym nr I/257/4 w miejscowości Jagodowo w województwie kujawsko-pomorskim prognozuje się kontynuację niżówki hydrogeologicznej (scenariusz A i B; Rys. 3).

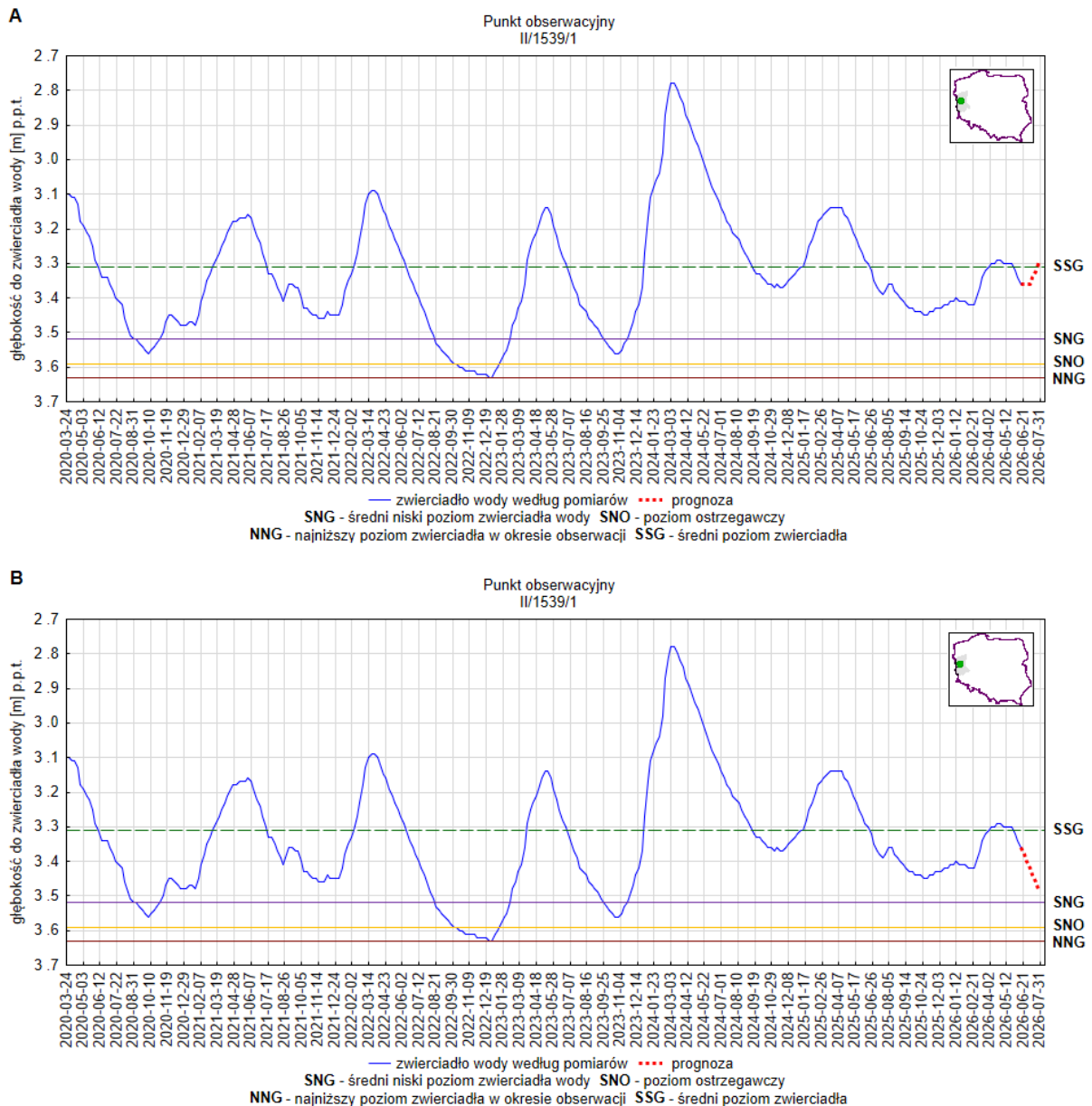
Województwo lubelskie



Rys. 4. Prognoza dotycząca stanu wód o zwierciadle swobodnym (gruntowych) na okres 01.07.2026–31.07.2026 r. – stacja hydrogeologiczna nr II/327/1 w miejscowości Sadurki (woj. lubelskie). **A** – prognoza przy założeniu scenariusza A; **B** – prognoza przy założeniu scenariusza B

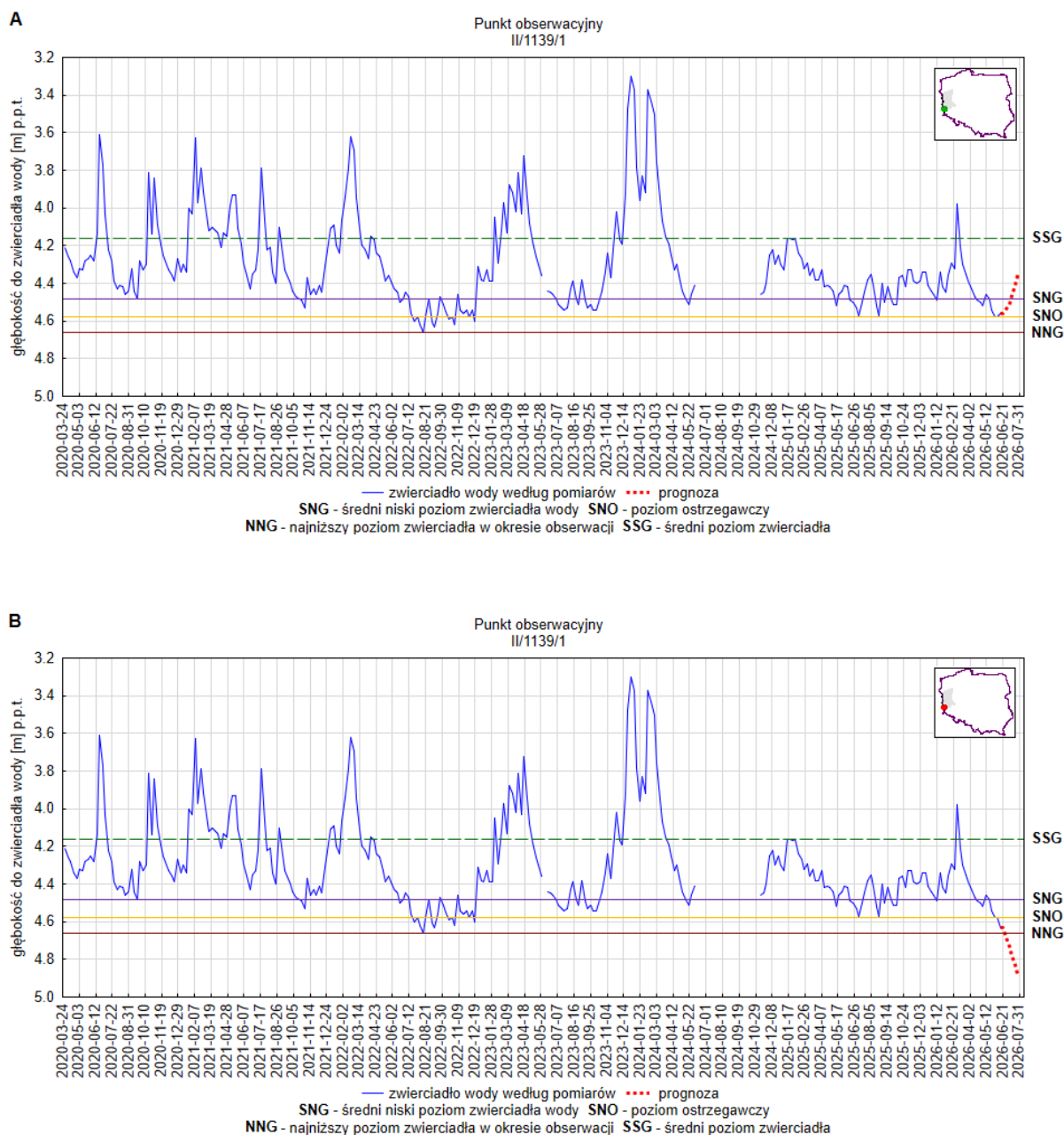
W punkcie obserwacyjnym nr II/327/1 w miejscowości Sadurki w województwie lubelskim prognozuje się kontynuację niżówki hydrogeologicznej (scenariusz A i B; Rys. 4).

Województwo lubuskie



Rys. 5. Prognoza dotycząca stanu wód o zwierciadle swobodnym (gruntowych) na okres 01.07.2026–31.07.2026 r. – stacja hydrogeologiczna nr II/1539/1 w miejscowości Czartów (woj. lubuskie). **A** – prognoza przy założeniu scenariusza A; **B** – prognoza przy założeniu scenariusza B

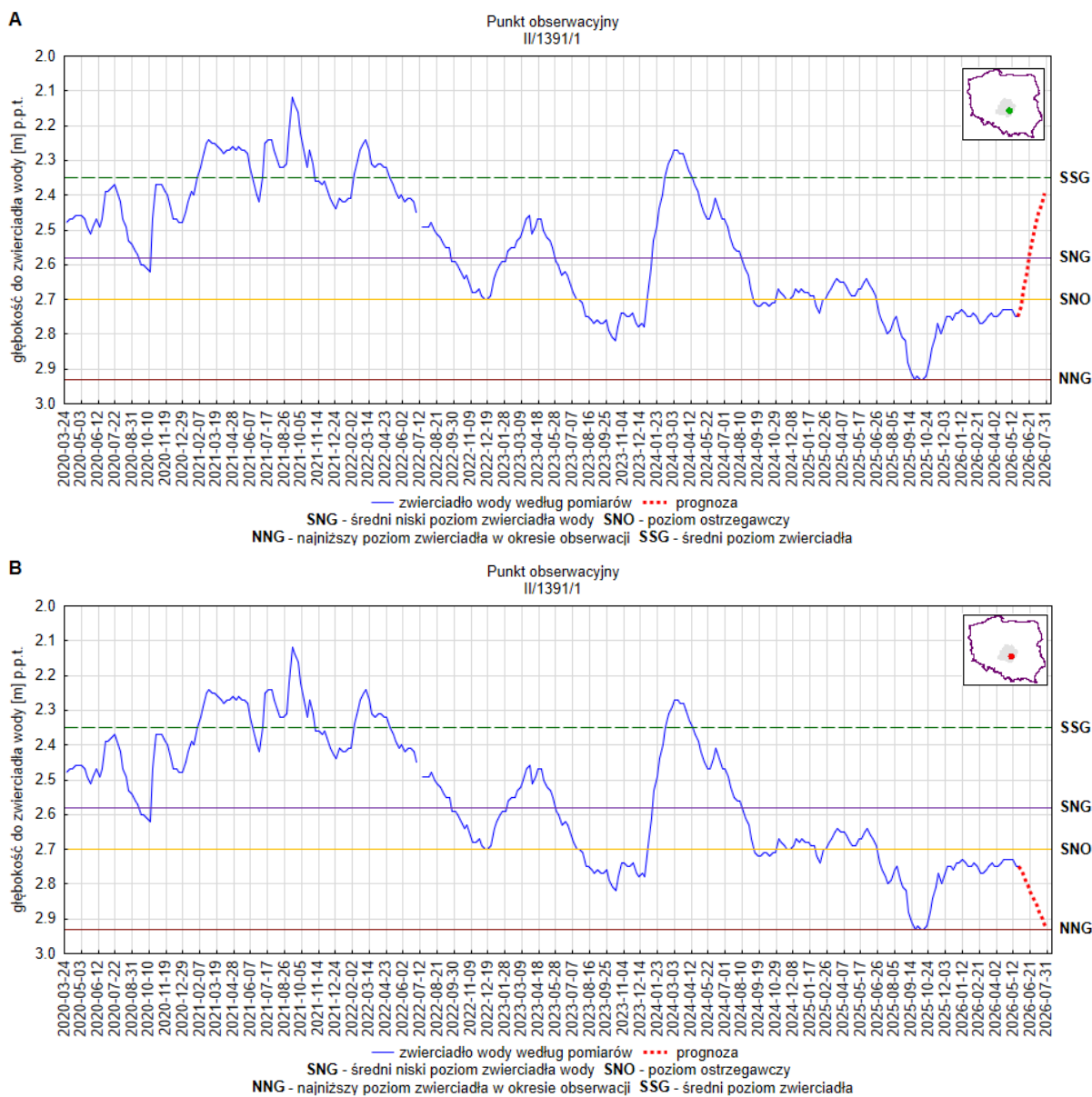
W punkcie obserwacyjnym nr II/1539/1 w miejscowości Czartów w województwie lubuskim nie prognozuje się wystąpienia niżówki hydrogeologicznej (scenariusz A i B; Rys. 5).



Rys. 6. Prognoza dotycząca stanu wód o zwierciadle swobodnym (gruntowych) na okres 01.07.2026–31.07.2026 r. – stacja hydrogeologiczna nr II/1139/1 w miejscowości Dobrzyń (woj. lubuskie). **A** – prognoza przy założeniu scenariusza A; **B** – prognoza przy założeniu scenariusza B

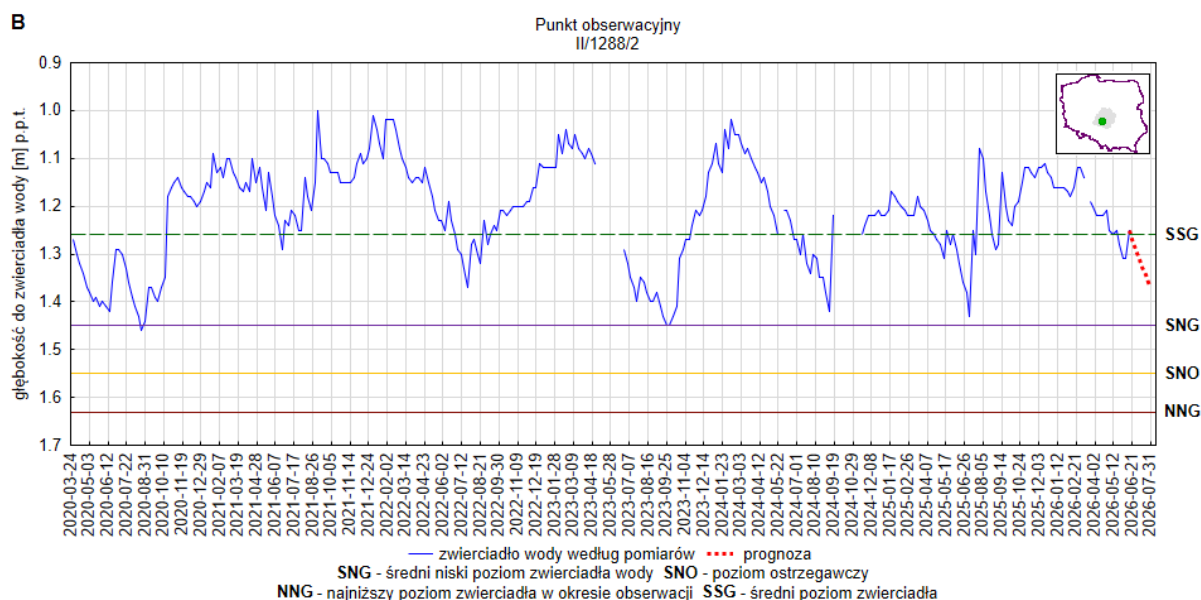
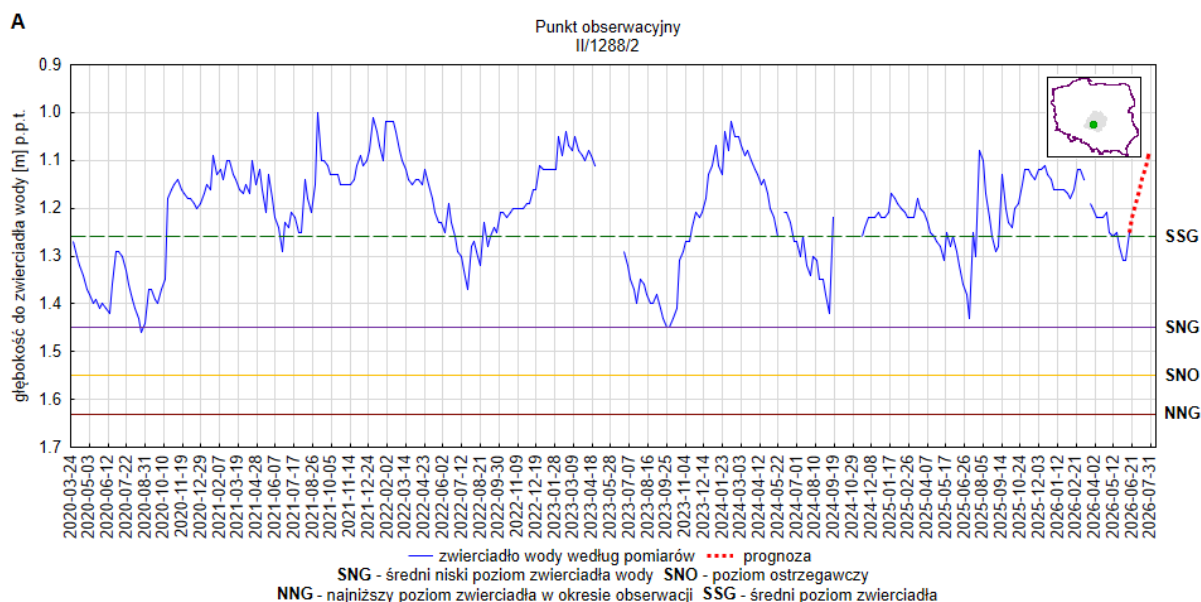
W punkcie obserwacyjnym nr II/1139/1 w miejscowości Dobrzyń w województwie lubuskim prognozuje się kontynuację niżówki hydrogeologicznej (scenariusz B; Rys. 6).

Województwo łódzkie



Rys. 7. Prognoza dotycząca stanu wód o zwierciadle swobodnym (gruntowych) na okres 01.07.2026–31.07.2026 r. – stacja hydrogeologiczna nr II/1391/1 w miejscowości Sulejów (woj. łódzkie). **A** – prognoza przy założeniu scenariusza A; **B** – prognoza przy założeniu scenariusza B

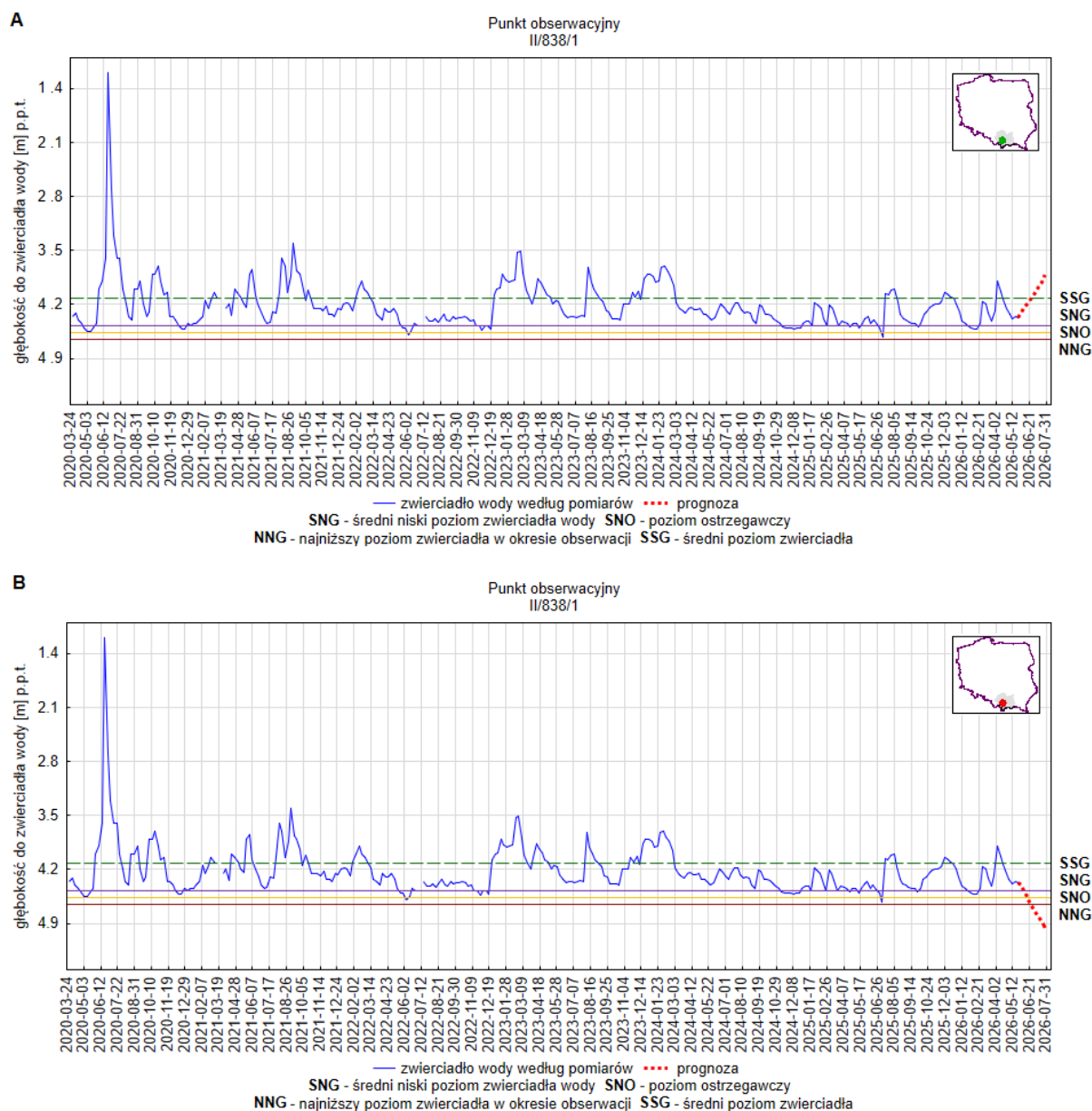
W punkcie obserwacyjnym nr II/1391/1 w miejscowości Sulejów w województwie łódzkim prognozuje się kontynuację niżówki hydrogeologicznej (scenariusz B; Rys. 7).



Rys. 8. Prognoza dotycząca stanu wód o zwierciadle swobodnym (gruntowych) na okres 01.07.2026–31.07.2026 r. – stacja hydrogeologiczna nr II/1288/2 w miejscowości Marcelów (woj. łódzkie). **A** – prognoza przy założeniu scenariusza A; **B** – prognoza przy założeniu scenariusza B

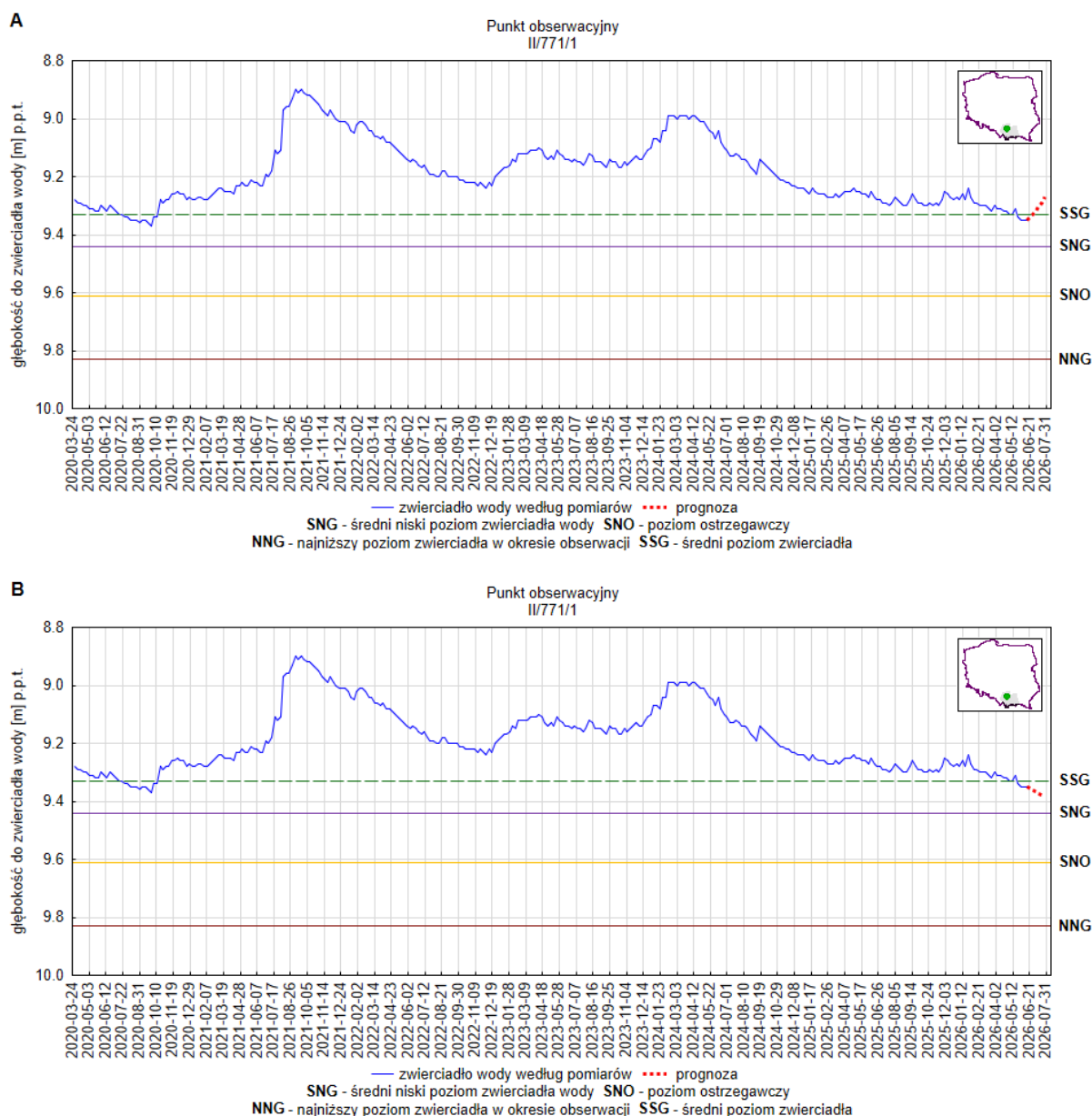
W punkcie obserwacyjnym nr II/1288/2 w miejscowości Marcelów w województwie łódzkim nie prognozuje się wystąpienia niżówki hydrogeologicznej (scenariusz A i B; Rys. 8).

Województwo małopolskie



Rys. 9. Prognoza dotycząca stanu wód o zwierciadle swobodnym (gruntowych) na okres 01.07.2026–31.07.2026 r. – stacja hydrogeologiczna nr II/838/1 w miejscowości Pcim (woj. małopolskie). **A** – prognoza przy założeniu scenariusza A; **B** – prognoza przy założeniu scenariusza B

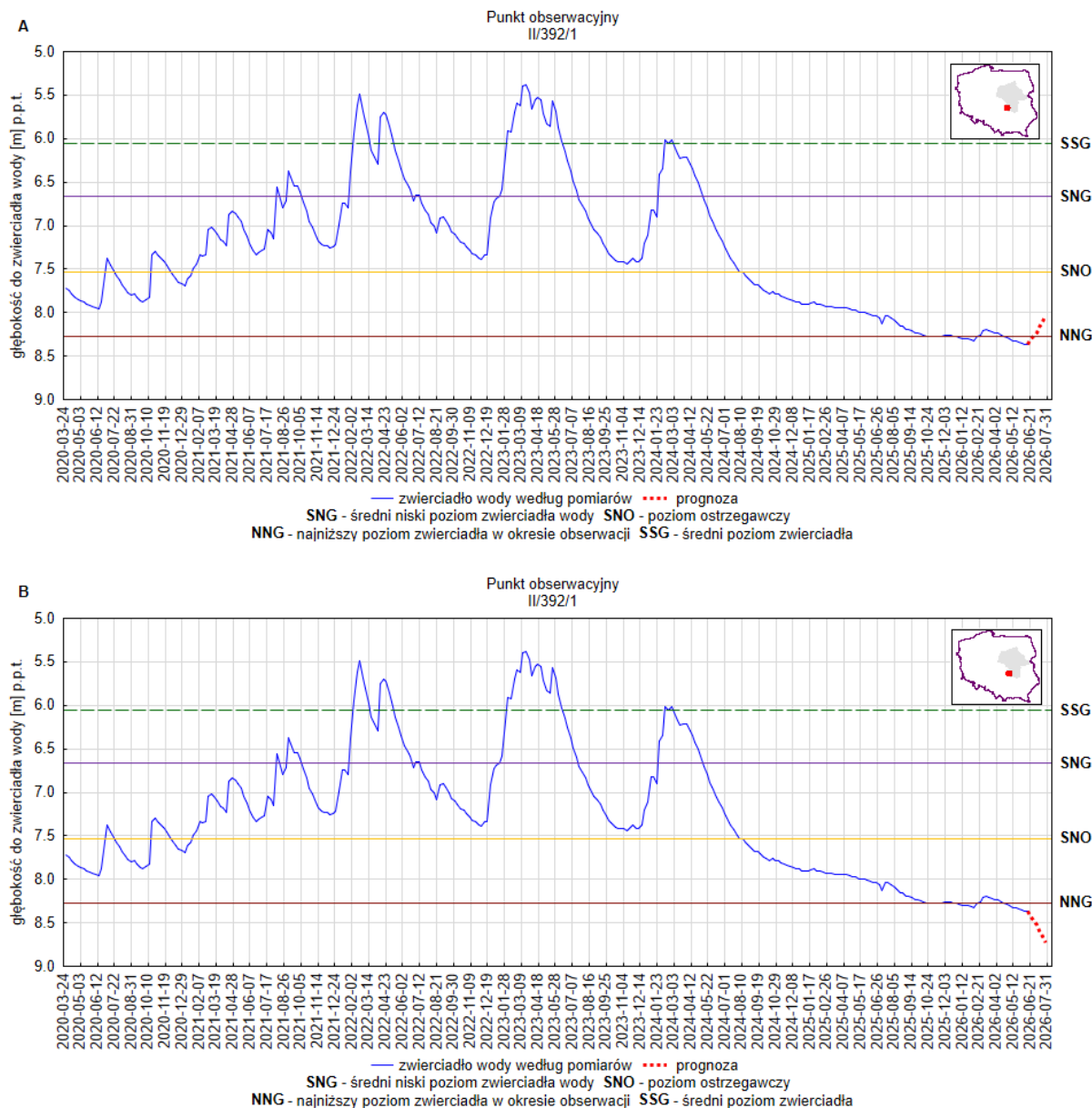
W punkcie obserwacyjnym nr II/838/1 w miejscowości Pcim w województwie małopolskim prognozuje się wystąpienie niżówki hydrogeologicznej (scenariusz B; Rys. 9).



Rys. 10. Prognoza dotycząca stanu wód o zwierciadle swobodnym (gruntowych) na okres 01.07.2026–31.07.2026 r. – stacja hydrogeologiczna nr II/771/1 w miejscowości Kraków (woj. małopolskie). **A** – prognoza przy założeniu scenariusza A; **B** – prognoza przy założeniu scenariusza B

W punkcie obserwacyjnym nr II/771/1 w miejscowości Kraków w województwie małopolskim nie prognozuje się wystąpienia niżówki hydrogeologicznej (scenariusz A i B; Rys. 10).

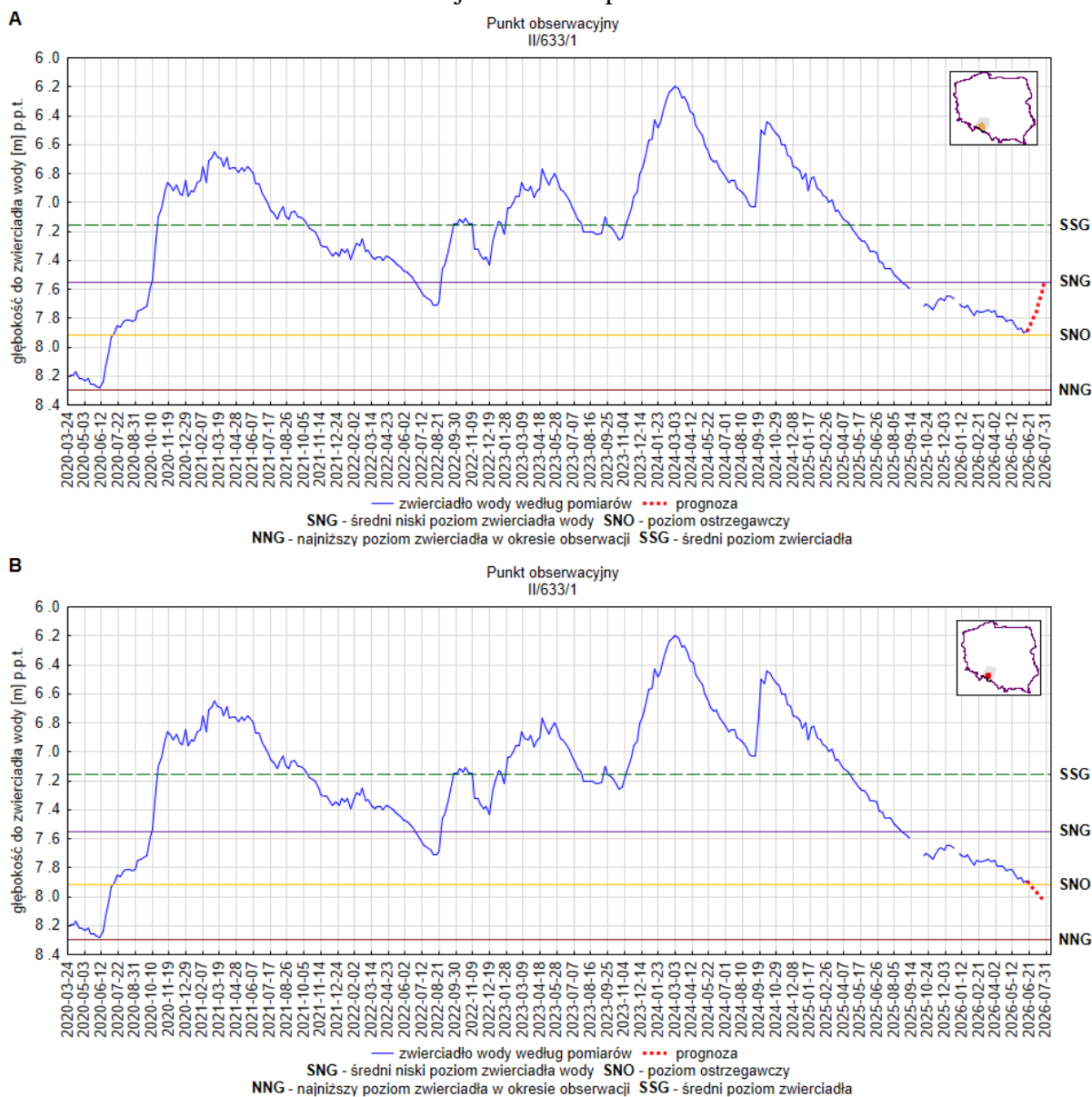
Województwo mazowieckie



Rys. 11. Prognoza dotycząca stanu wód o zwiędziadle swobodnym (gruntowych) na okres 01.07.2026–31.07.2026 r. – stacja hydrogeologiczna nr II/392/1 w miejscowości Goździków (woj. mazowieckie). **A** – prognoza przy założeniu scenariusza A; **B** – prognoza przy założeniu scenariusza B

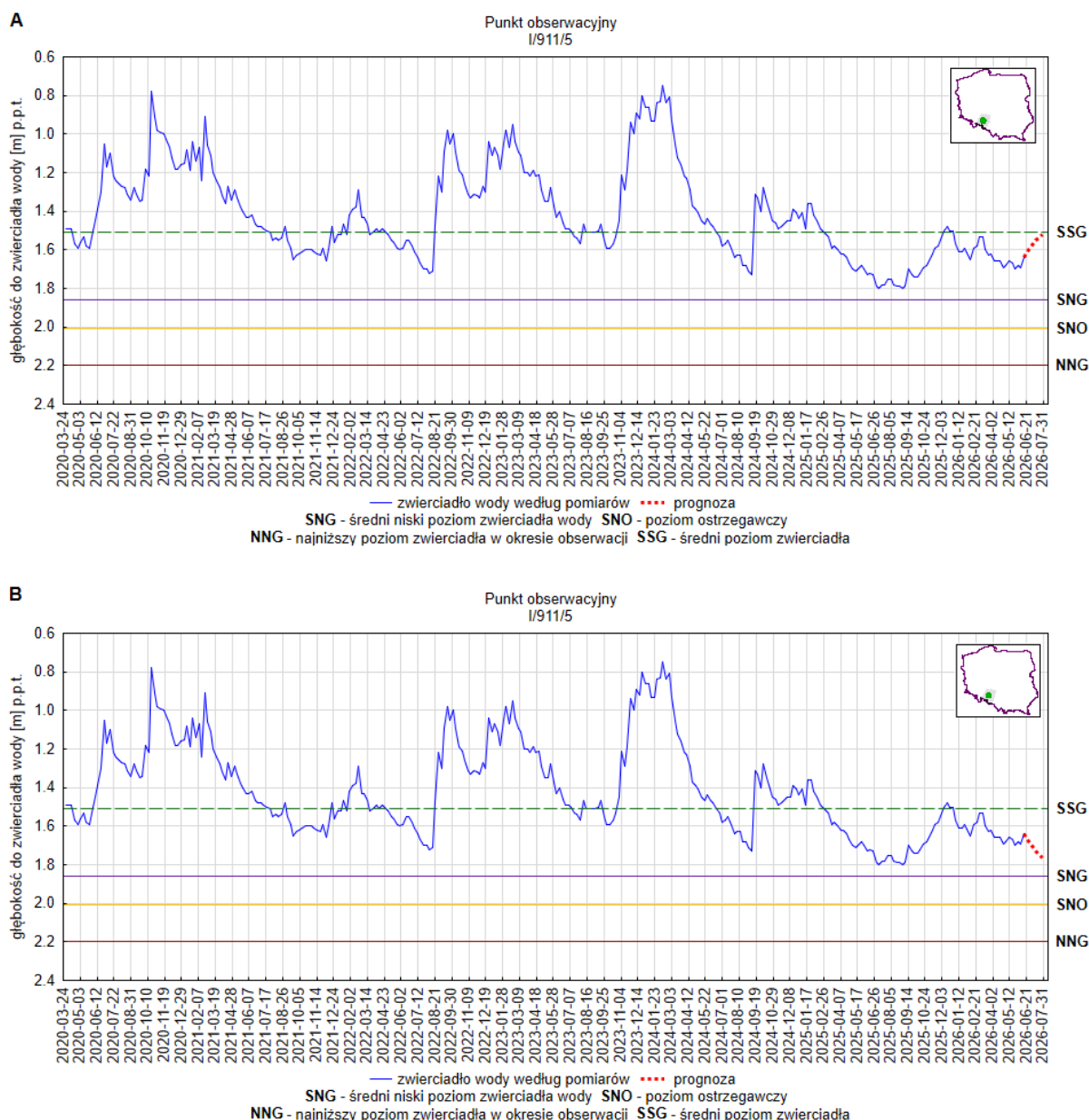
W punkcie obserwacyjnym nr II/392/1 w miejscowości Goździków w województwie mazowieckim prognozuje się kontynuację niżówki hydrogeologicznej (scenariusz A i B; Rys. 11).

Województwo opolskie



Rys. 12. Prognoza dotycząca stanu wód o zwierciadle swobodnym (gruntowych) na okres 01.07.2026–31.07.2026 r. – stacja hydrogeologiczna nr II/633/1 w miejscowości Łącznik (woj. opolskie). **A** – prognoza przy założeniu scenariusza A; **B** – prognoza przy założeniu scenariusza B

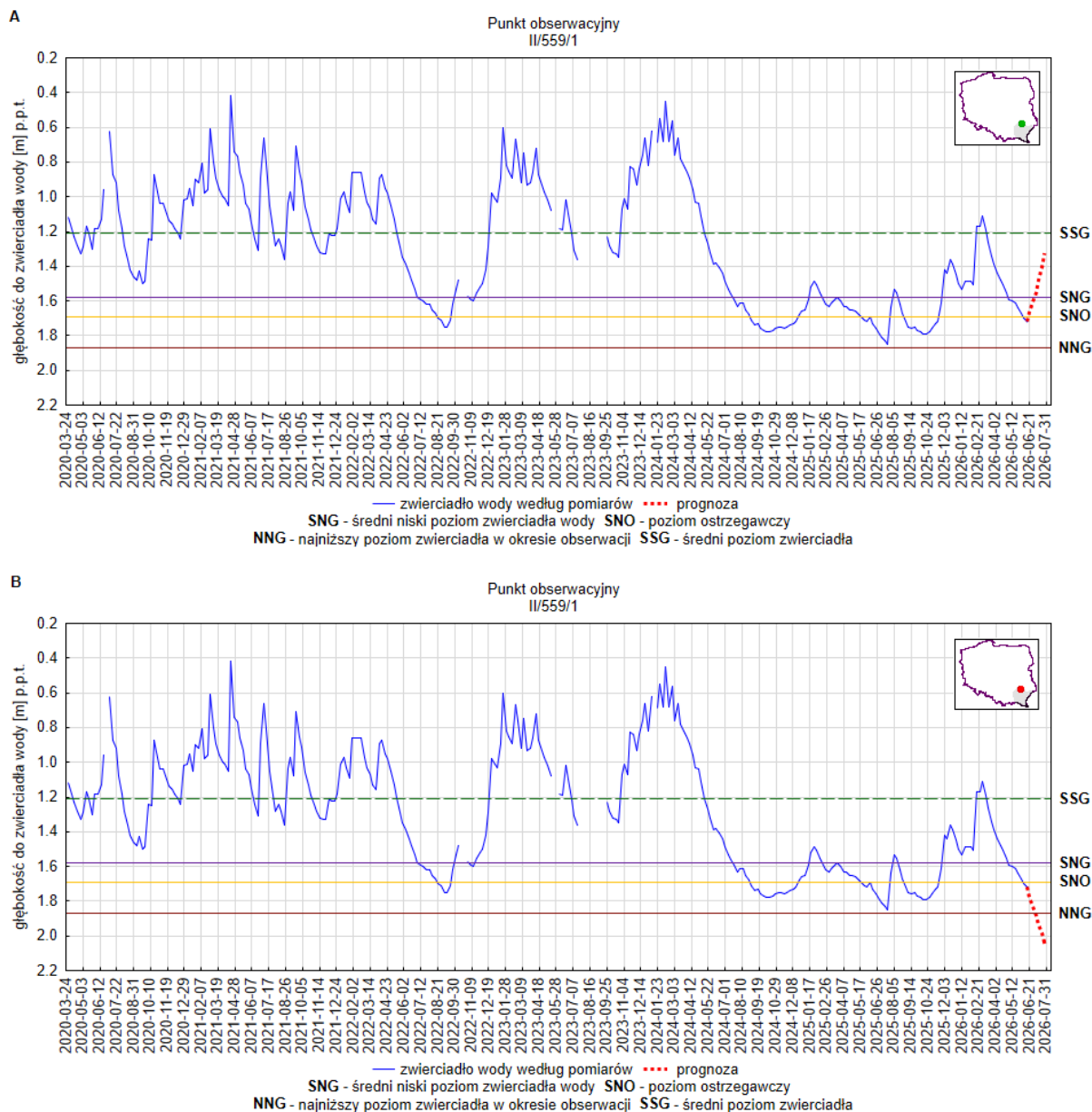
W punkcie obserwacyjnym nr II/633/1 w miejscowości Łącznik w województwie opolskim prognozuje się wystąpienie niżówki hydrogeologicznej (scenariusz B; Rys. 12).



Rys. 13. Prognoza dotycząca stanu wód o zwierciadle swobodnym (gruntowych) na okres 01.07.2026–31.07.2026 r. – stacja hydrogeologiczna nr I/911/5 w miejscowości Wrzoski (woj. opolskie). **A** – prognoza przy założeniu scenariusza A; **B** – prognoza przy założeniu scenariusza B

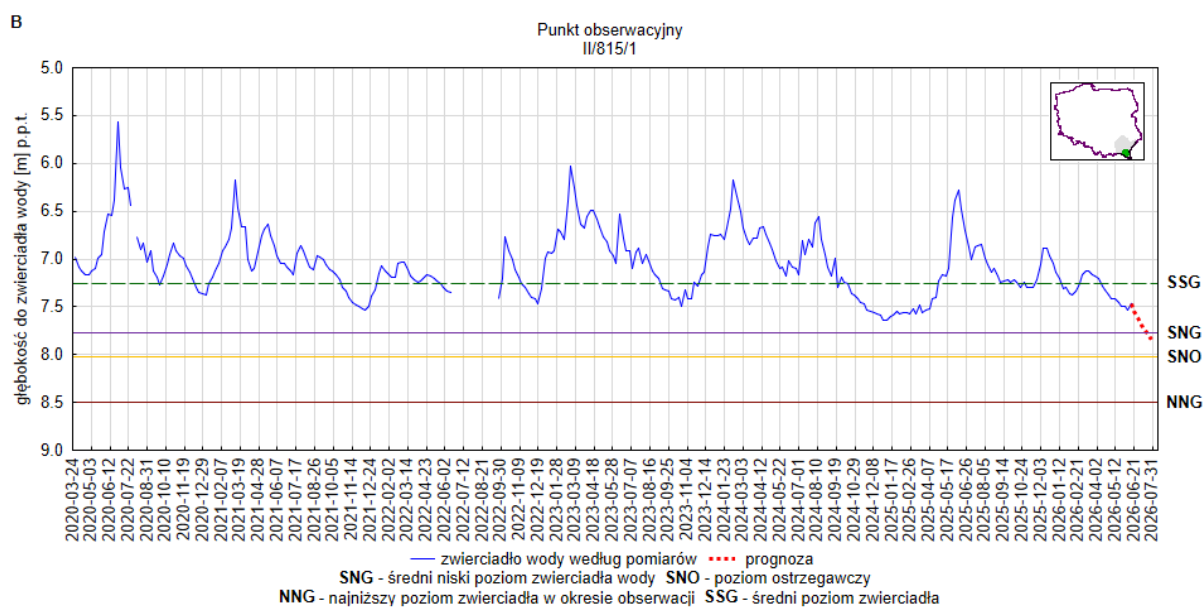
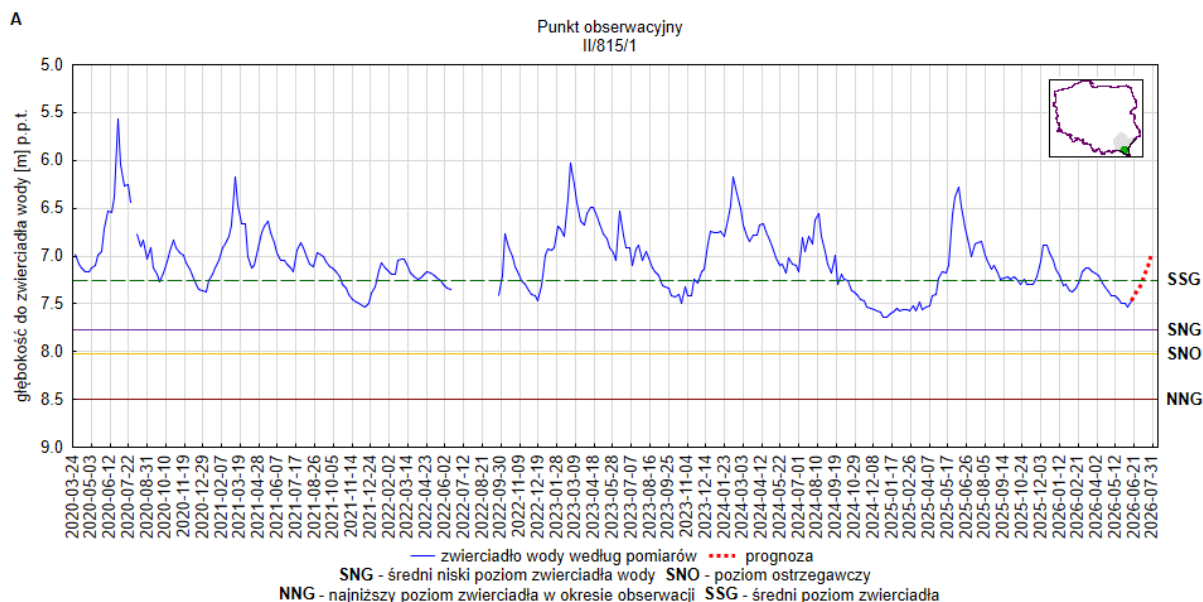
W punkcie obserwacyjnym I/911/5 w miejscowości Wrzoski w województwie opolskim nie prognozuje się wystąpienia niżówki hydrogeologicznej (scenariusz A i B; Rys. 13).

Województwo podkarpackie



Rys. 14. Prognoza dotycząca stanu wód o zwierniadle swobodnym (gruntowych) na okres 01.07.2026–31.07.2026 r. – stacja hydrogeologiczna nr II/559/1 w miejscowości Pysznicza (woj. podkarpackie). **A** – prognoza przy założeniu scenariusza A; **B** – prognoza przy założeniu scenariusza B

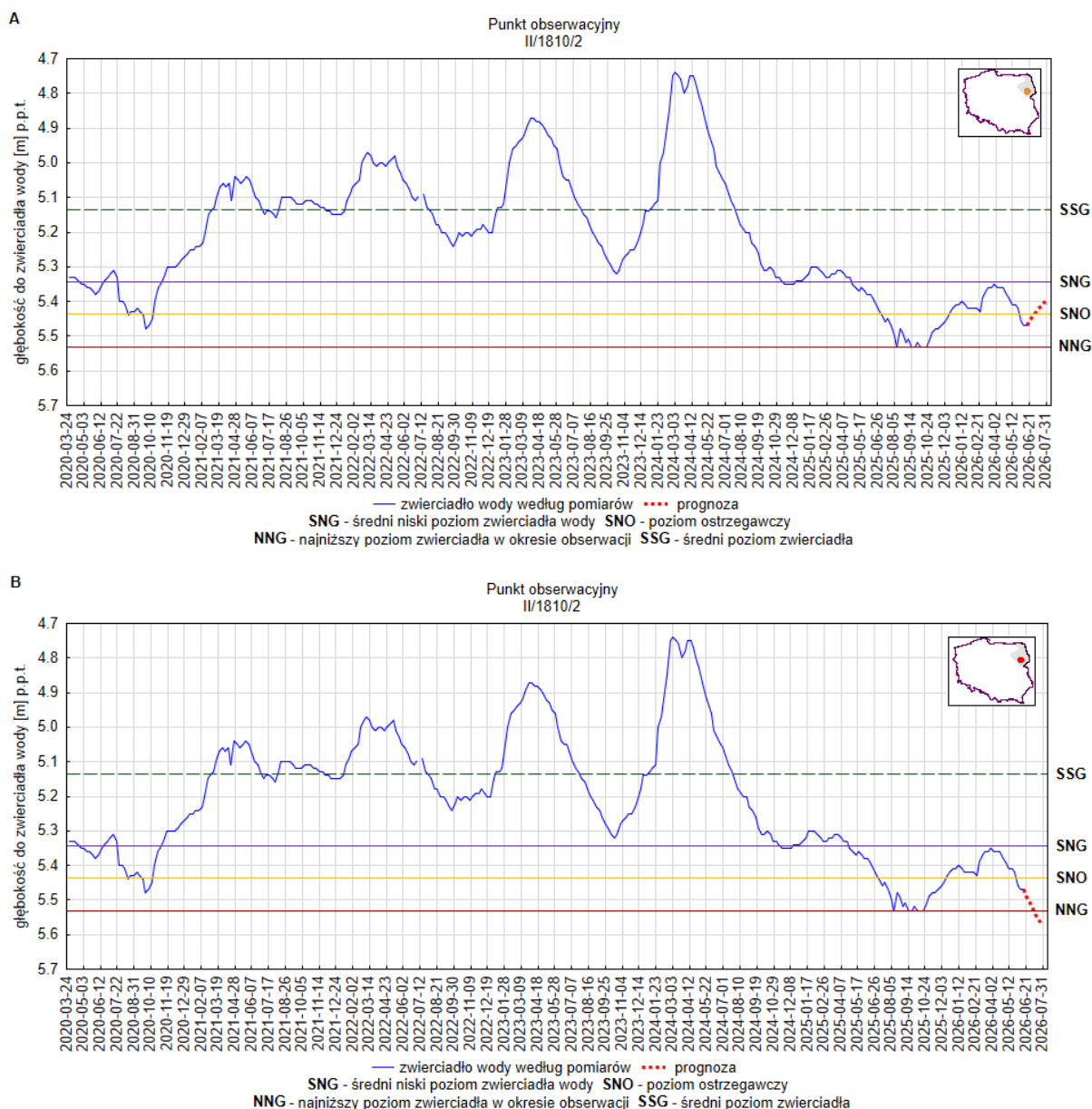
W punkcie obserwacyjnym nr II/559/1 w miejscowości Pysznicza w województwie podkarpackim prognozuje się wystąpienie niżówki hydrogeologicznej (scenariusz B; Rys. 14).



Rys. 15. Prognoza dotycząca stanu wód o zwierciadle swobodnym (gruntowych) na okres 01.07.2026–31.07.2026 r. – stacja hydrogeologiczna nr II/815/1 w miejscowości Lesko (woj. podkarpackie). **A** – prognoza przy założeniu scenariusza A; **B** – prognoza przy założeniu scenariusza B

W punkcie obserwacyjnym nr II/815/1 w miejscowości Lesko w województwie podkarpackim nie prognozuje się wystąpienia niżówki hydrogeologicznej (scenariusz A i B; Rys. 15).

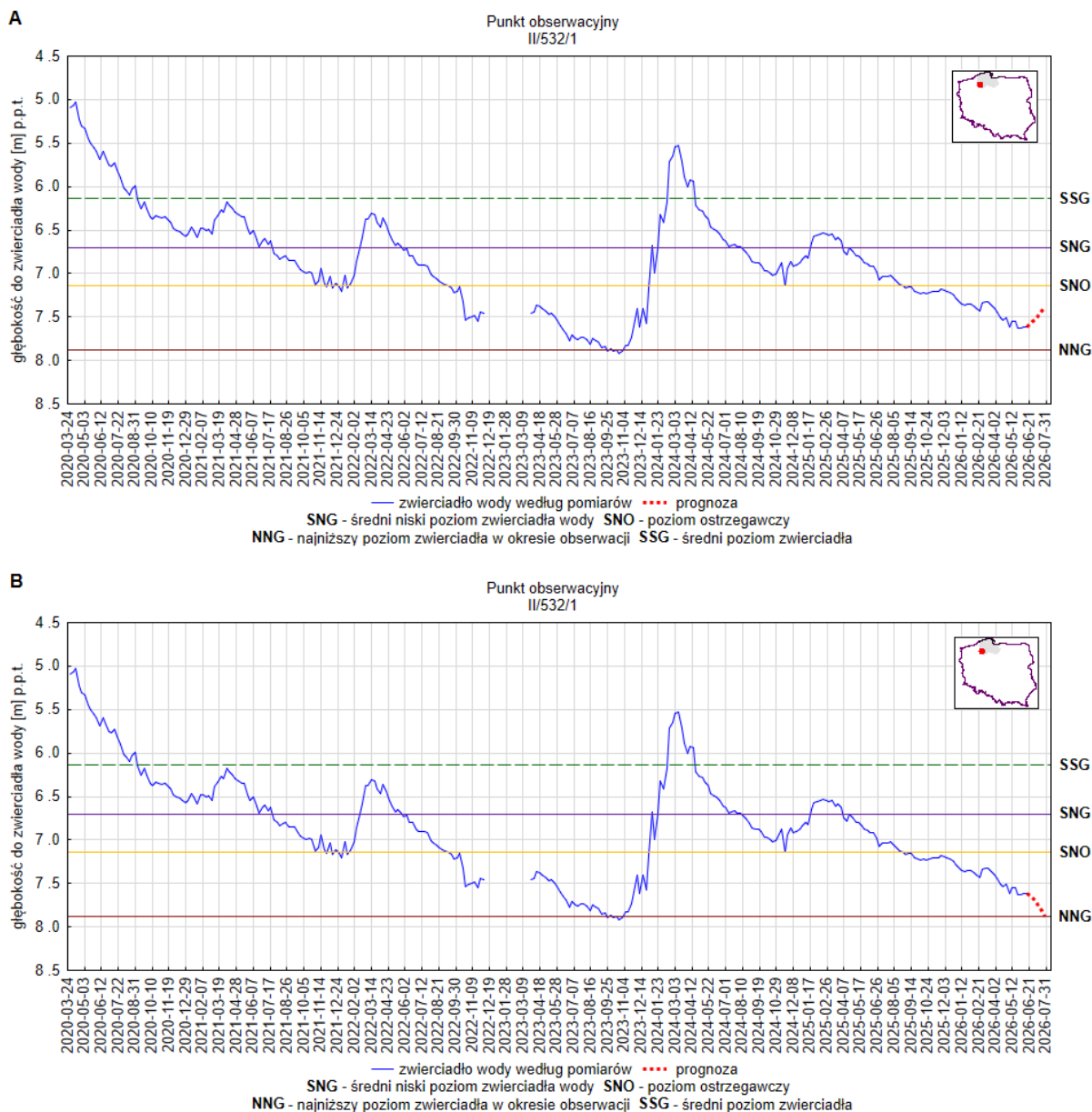
Województwo podlaskie



Rys. 16. Prognoza dotycząca stanu wód o zwierciadle swobodnym (gruntowych) na okres 01.07.2026–31.07.2026 r.- stacja hydrogeologiczna nr II/1810/2 w miejscowości Liza Stara (woj. podlaskie). **A** – prognoza przy założeniu scenariusza A; **B** – prognoza przy założeniu scenariusza B

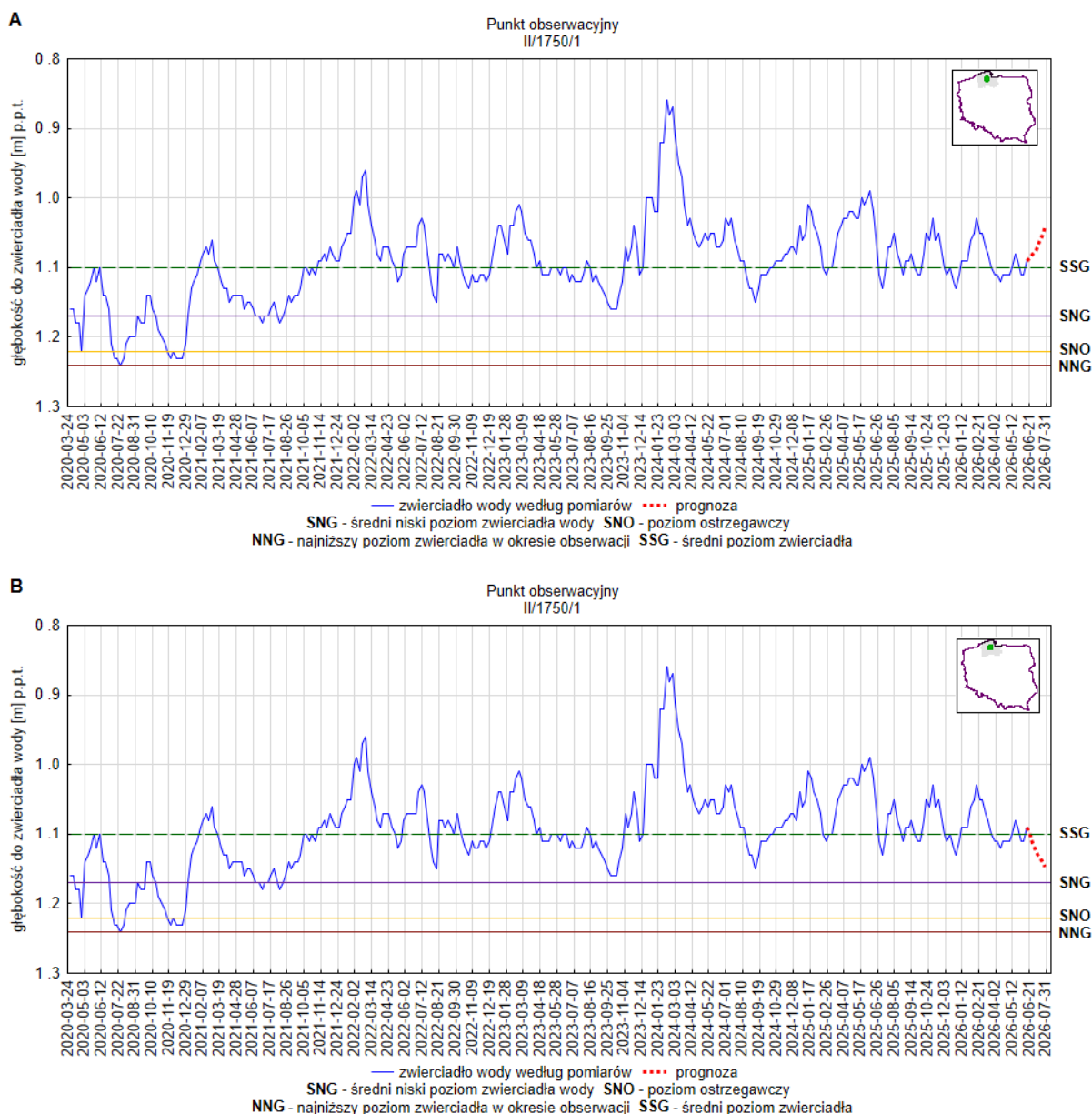
W punkcie obserwacyjnym II/1810/2 w miejscowości Liza Stara w województwie podlaskim prognozuje się kontynuację niżówki hydrogeologicznej (scenariusz B; Rys. 16).

Województwo pomorskie



Rys. 17. Prognoza dotycząca stanu wód o zwierciadle swobodnym (gruntowych) na okres 01.07.2026–31.07.2026 r. – stacja hydrogeologiczna nr II/532/1 w miejscowości Rzeczenica (woj. pomorskie). **A** – prognoza przy założeniu scenariusza A; **B** – prognoza przy założeniu scenariusza B

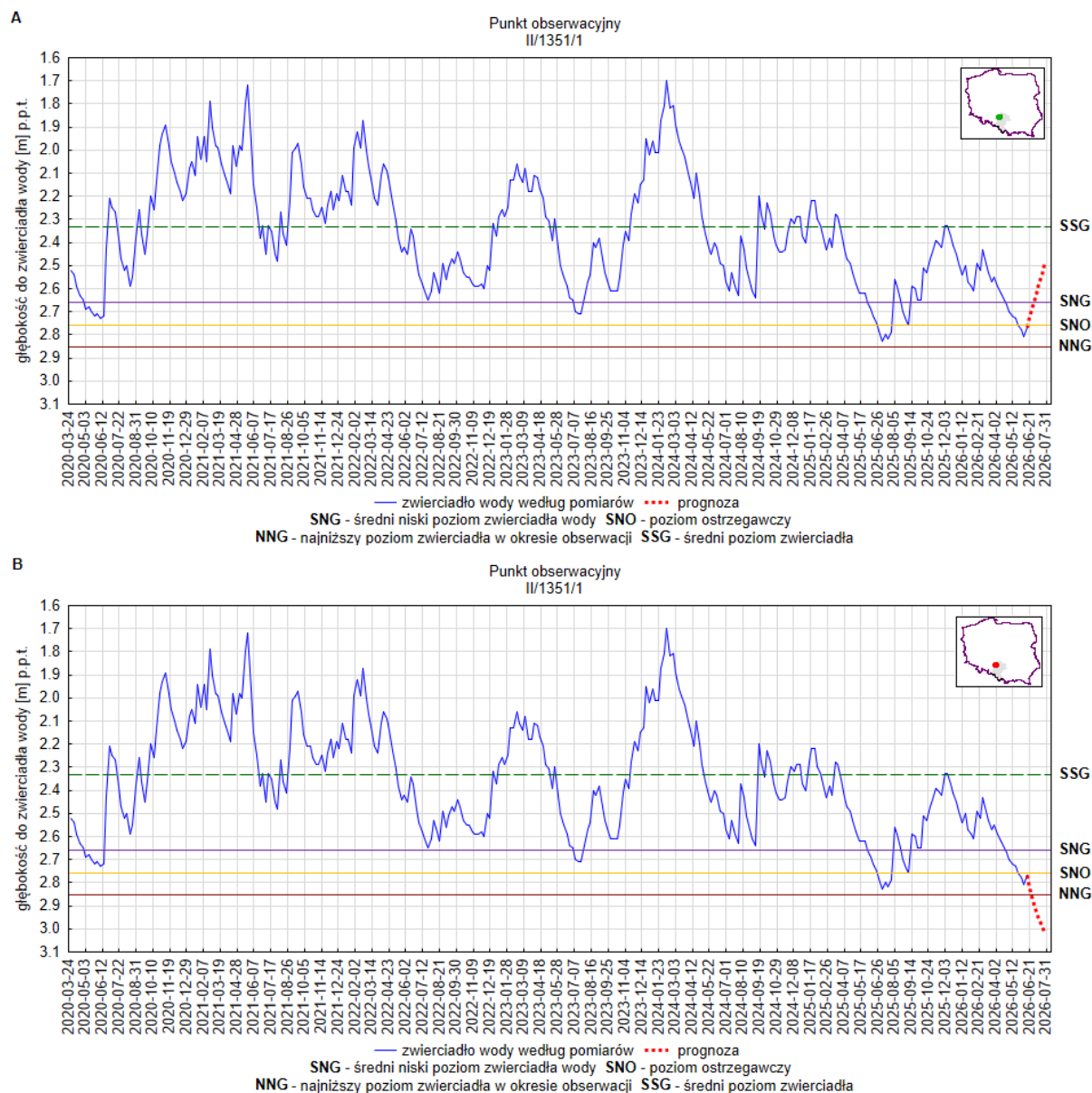
W punkcie obserwacyjnym nr II/532/1 w miejscowości Rzeczenica w województwie pomorskim prognozuje się kontynuację niżówki hydrogeologicznej (scenariusz A i B; Rys. 17).



Rys. 18. Prognoza dotycząca stanu wód o zwierciadle swobodnym (gruntowych) na okres 01.07.2026–31.07.2026 r. – stacja hydrogeologiczna nr II/1750/1 w miejscowości Borucino (woj. pomorskie). **A** – prognoza przy założeniu scenariusza A; **B** – prognoza przy założeniu scenariusza B

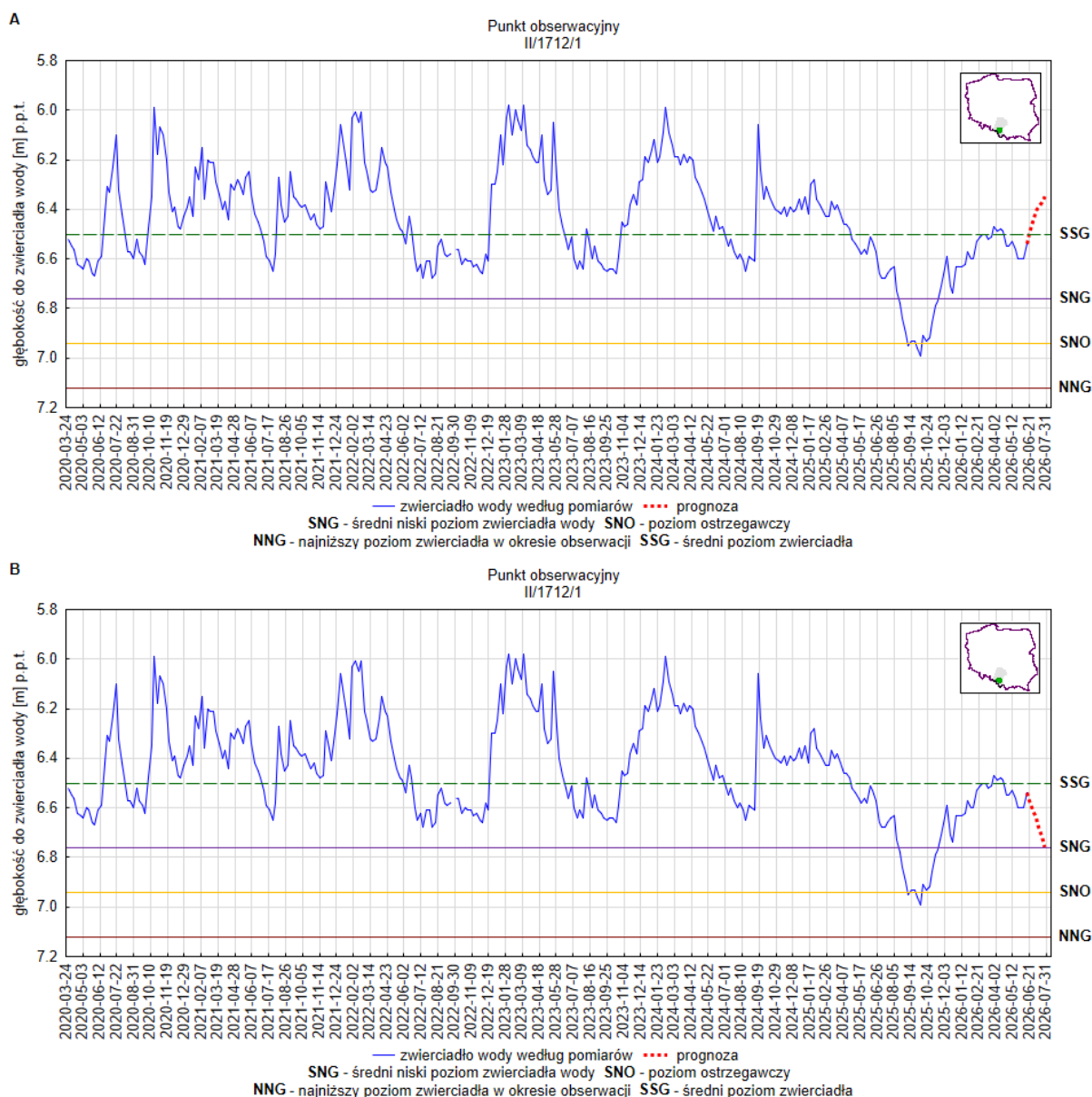
W punkcie obserwacyjnym nr II/1750/1 w miejscowości Borucino w województwie pomorskim nie prognozuje się wystąpienia niżówki hydrogeologicznej (scenariusz A i B; Rys. 18).

Województwo śląskie



Rys. 19. Prognoza dotycząca stanu wód o zwierciadle swobodnym (gruntowych) na okres 01.07.2026–31.07.2026 r. – stacja hydrogeologiczna nr II/1351/1 w miejscowości Ciasna/ woj. śląskie). **A** – prognoza przy założeniu scenariusza A; **B** – prognoza przy założeniu scenariusza B

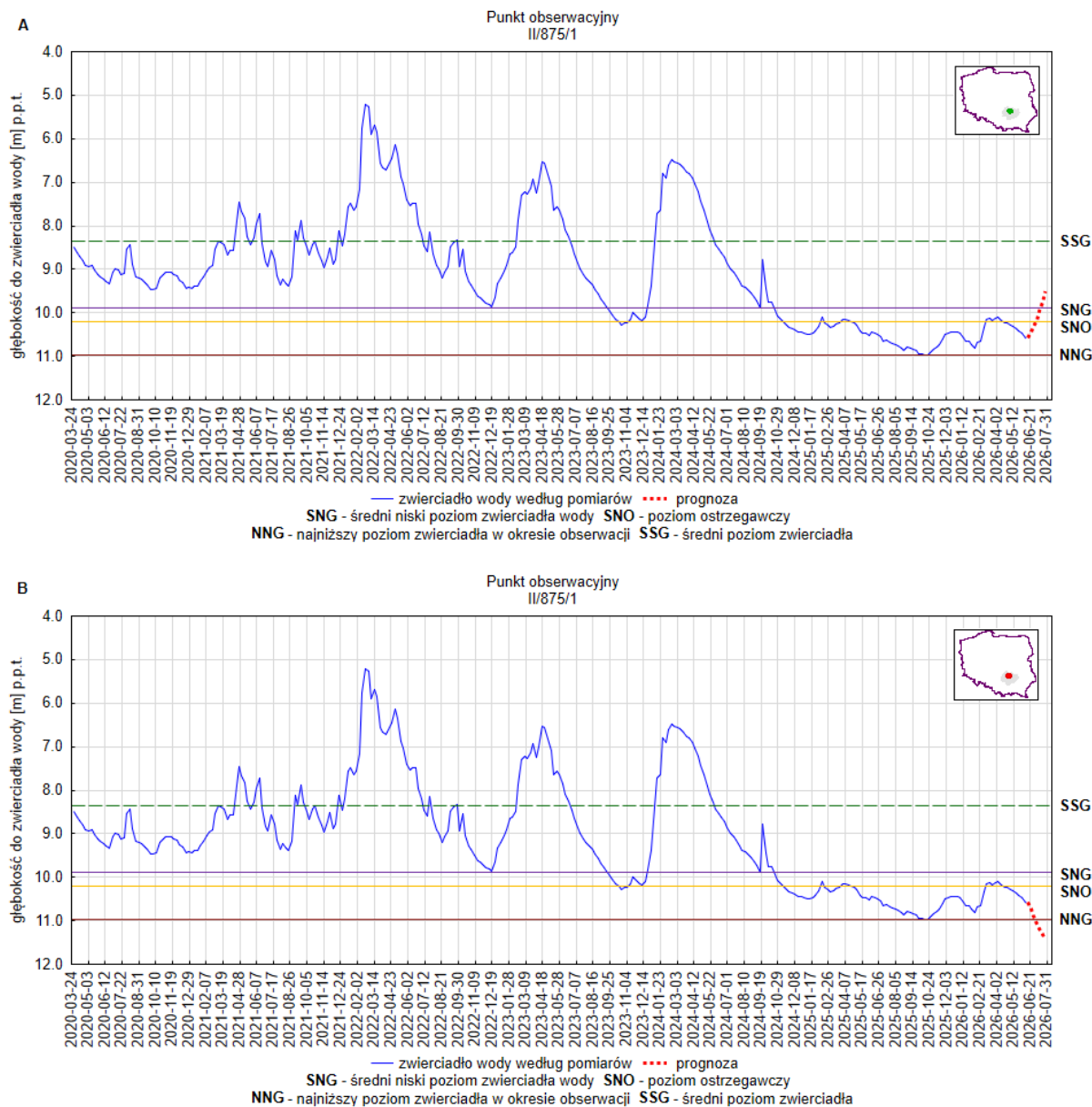
W punkcie obserwacyjnym nr II/1351/1 w miejscowości Ciasna w województwie śląskim prognozuje się kontynuację niżówki hydrogeologicznej (scenariusz B; Rys. 19).



Rys. 20 Prognoza dotycząca stanu wód o zwierciadle swobodnym (gruntowych) na okres 01.07.2026–31.07.2026 r. – stacja hydrogeologiczna nr II/1712/1 w miejscowości Piasek (woj. śląskie). **A** – prognoza przy założeniu scenariusza A; **B** - prognoza przy założeniu scenariusza B

W punkcie obserwacyjnym nr II/1712/1 w miejscowości Piasek w województwie śląskim nie prognozuje się wystąpienia niżówki hydrogeologicznej (scenariusz A i B; Rys. 20).

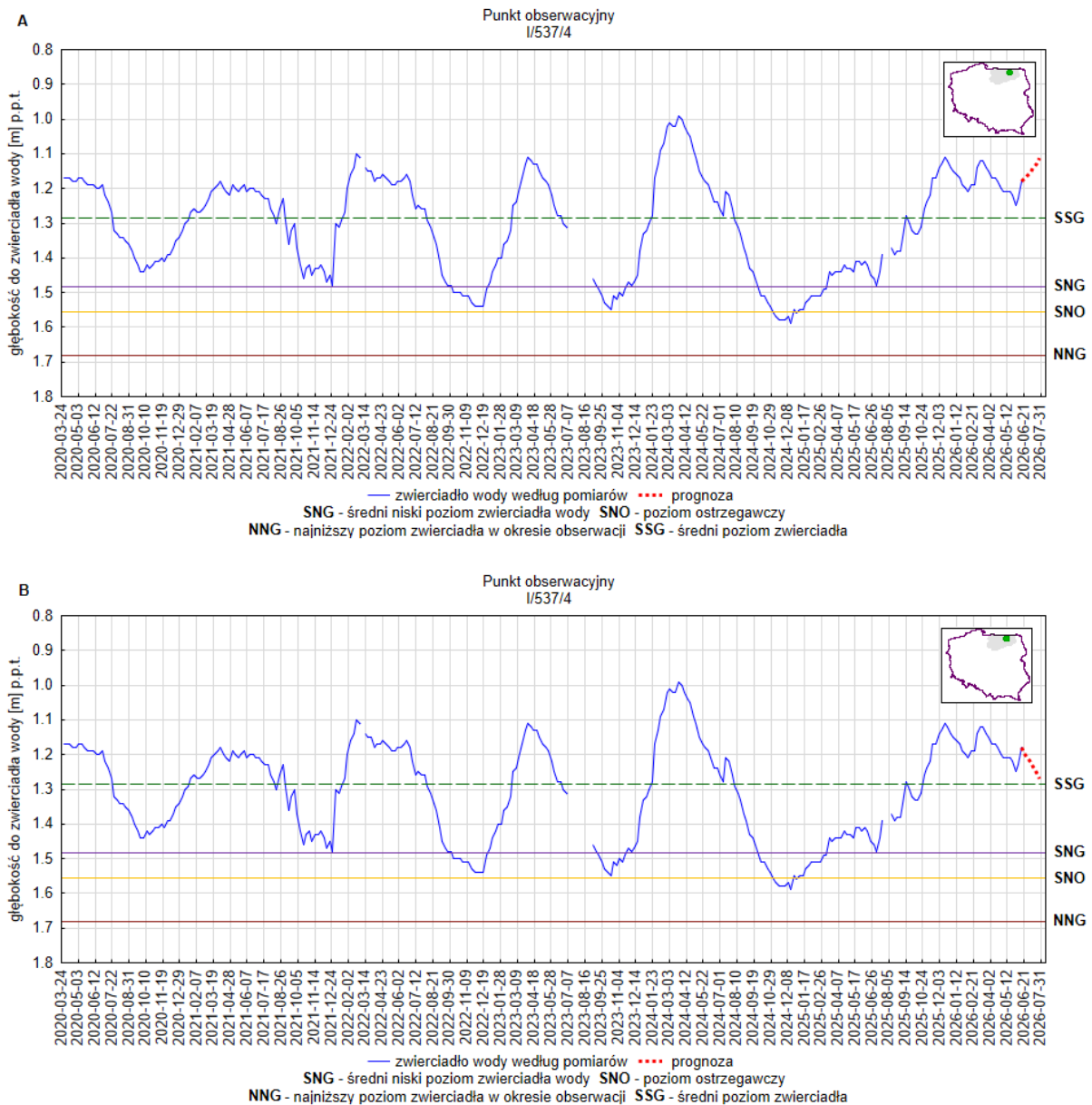
Województwo świętokrzyskie



Rys. 21. Prognoza dotycząca stanu wód o zwiędziadle swobodnym (gruntowych) na okres 01.07.2026–31.07.2026 r. – stacja hydrogeologiczna nr II/875/1 w miejscowości Ściężna (woj. świętokrzyskie). **A** – prognoza przy założeniu scenariusza A; **B** – prognoza przy założeniu scenariusza B

W punkcie obserwacyjnym nr II/875/1 w miejscowości Ściężna w województwie świętokrzyskim prognozuje się kontynuację niżówki hydrogeologicznej (scenariusz B; Rys. 21).

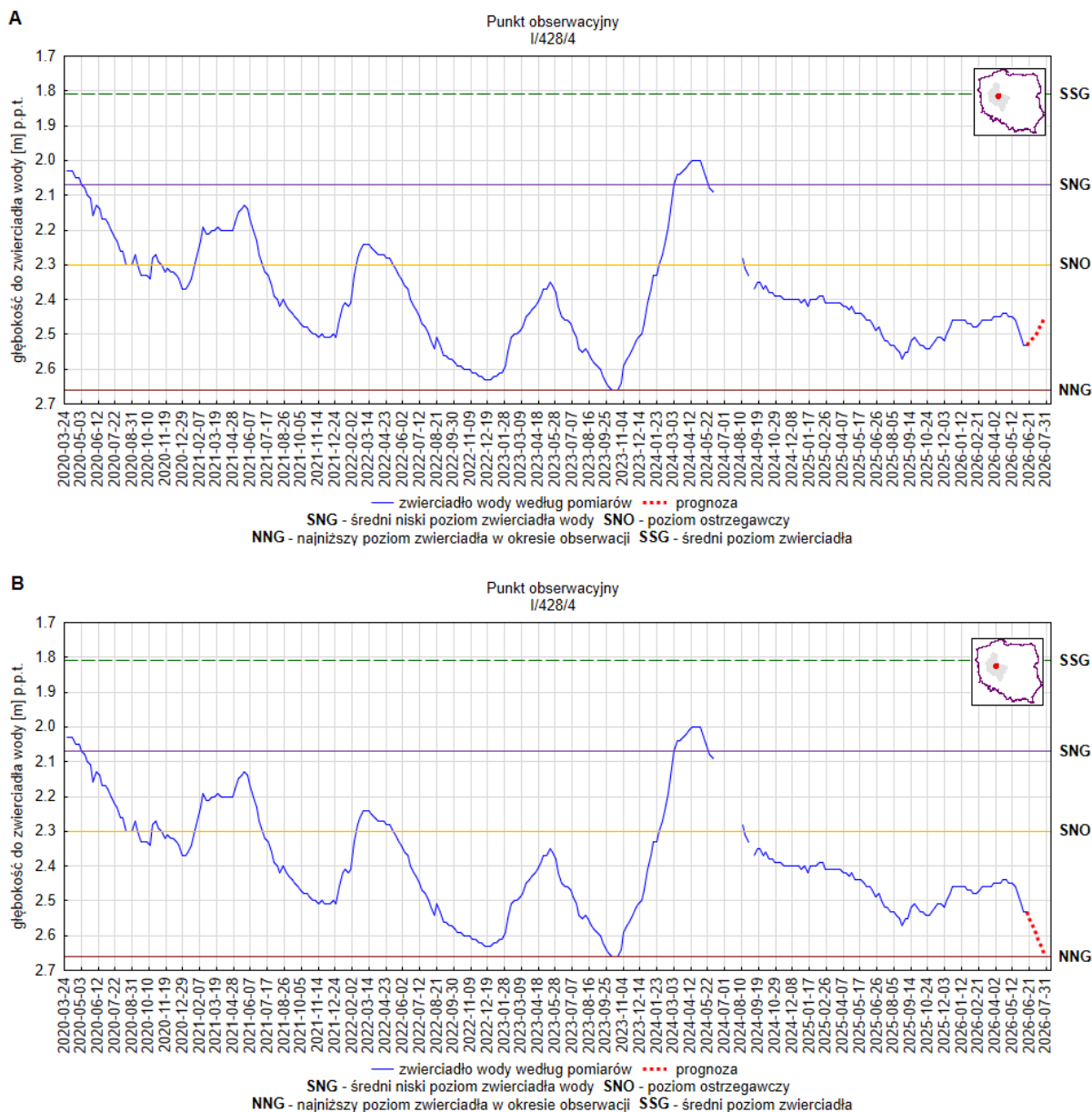
Województwo warmińsko-mazurskie



Rys. 22. Prognoza dotycząca stanu wód o zwierciadle swobodnym (gruntowych) na okres 01.07.2026–31.07.2026 r. – stacja hydrogeologiczna nr I/537/4 w miejscowości Doba (woj. warmińsko-mazurskie). **A** – prognoza przy założeniu scenariusza A; **B** – prognoza przy założeniu scenariusza B

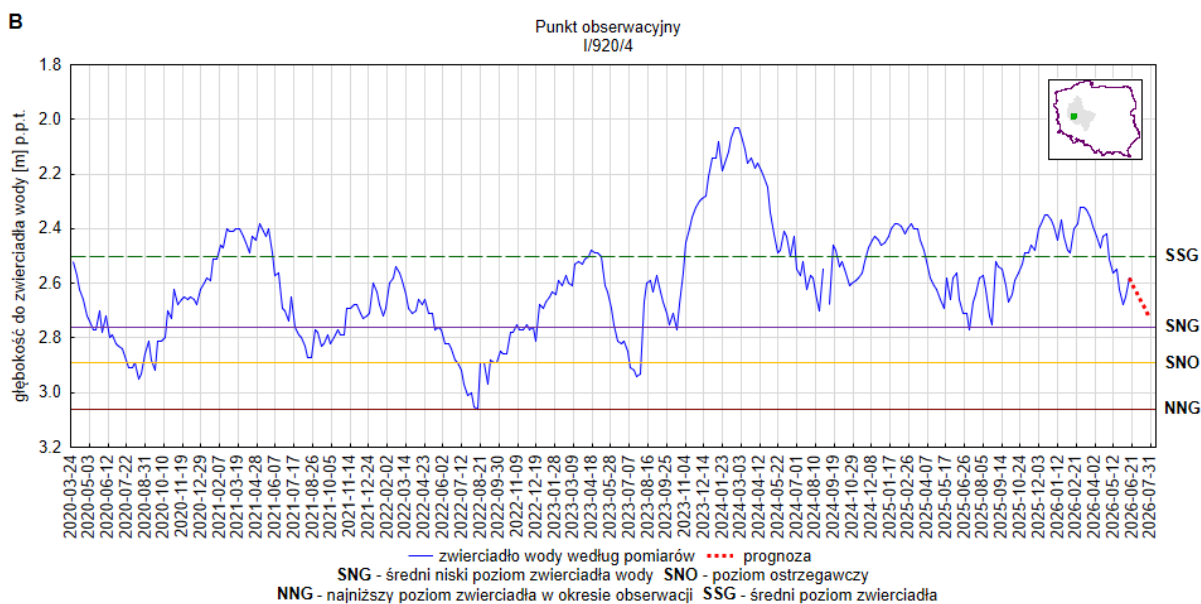
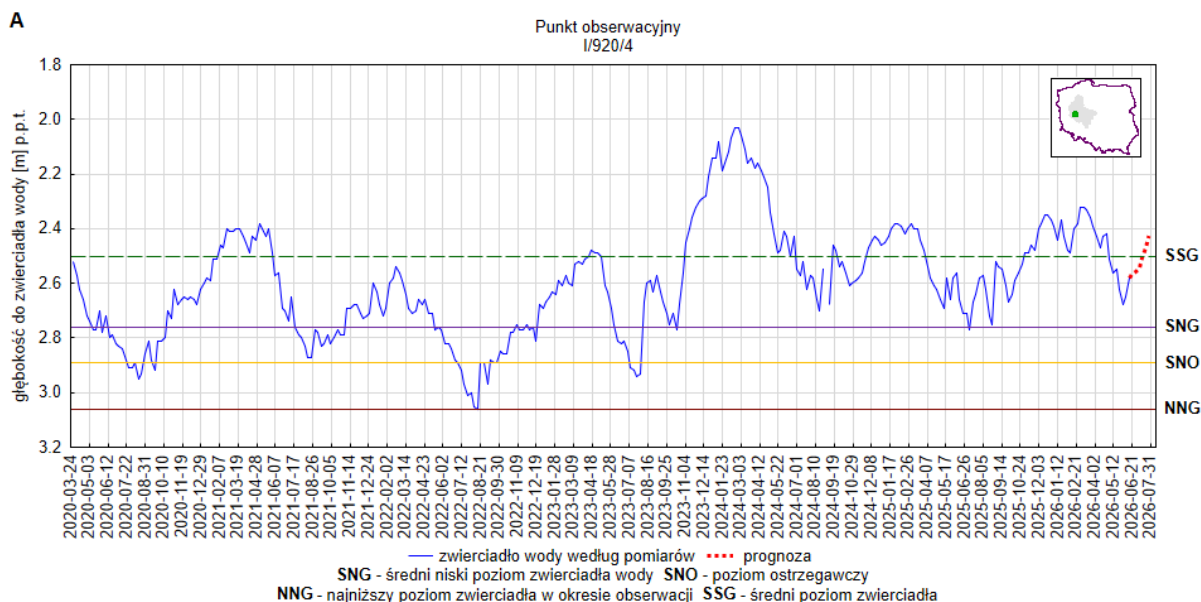
W punkcie obserwacyjnym I/537/4 w miejscowości Doba w województwie warmińsko-mazurskim nie prognozuje się wystąpienia niżówki hydrogeologicznej (scenariusz A i B; Rys. 22).

Województwo wielkopolskie



Rys. 23. Prognoza dotycząca stanu wód o zwierciadle swobodnym (gruntowych) na okres 01.07.2026–31.07.2026 r. – stacja hydrogeologiczna nr I/428/4 w miejscowości Czachurki (woj. wielkopolskie). **A** – prognoza przy założeniu scenariusza A; **B** – prognoza przy założeniu scenariusza B

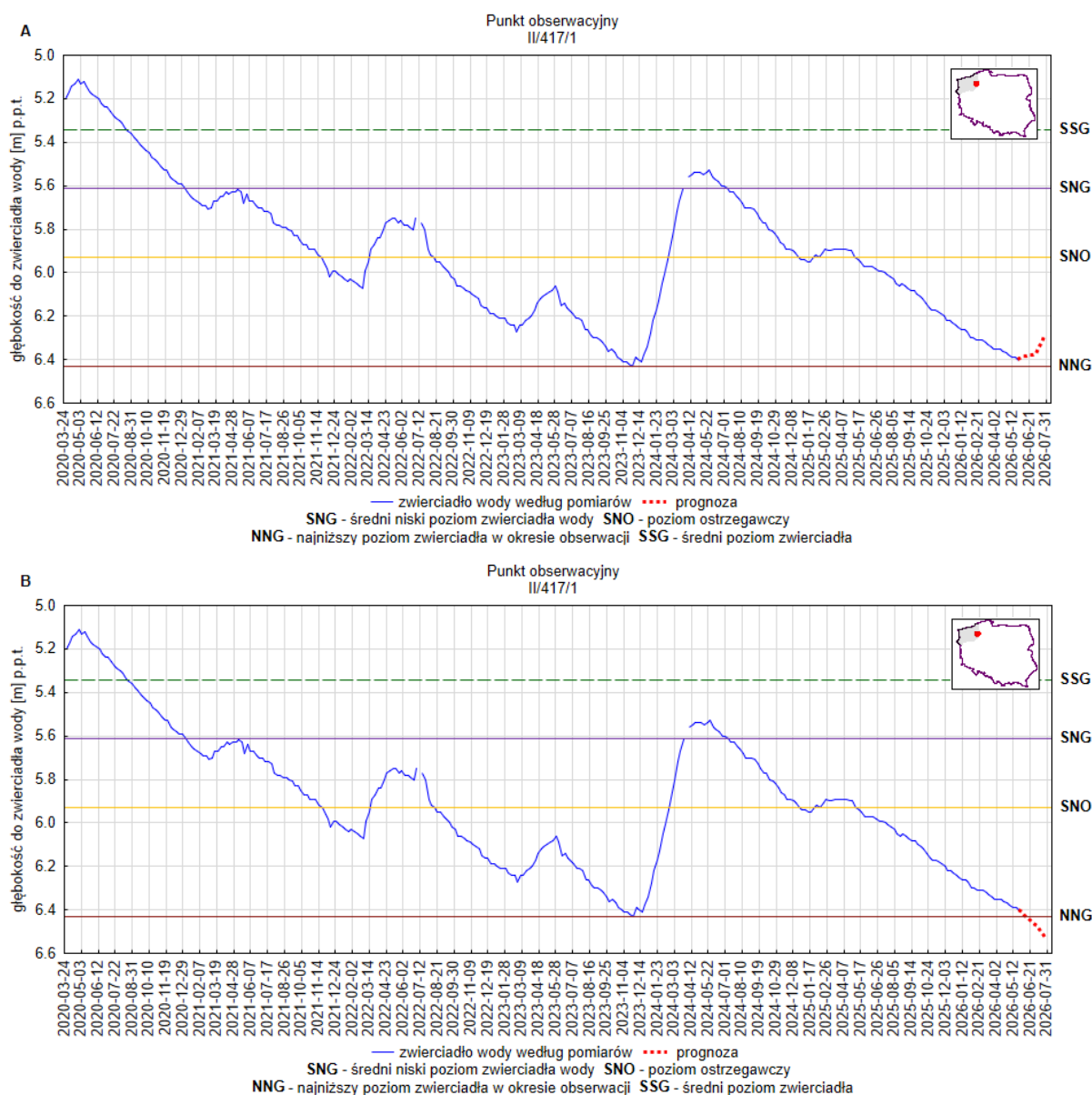
W punkcie obserwacyjnym nr I/428/4 w miejscowości Czachurki w województwie wielkopolskim prognozuje się kontynuację niżówki hydrogeologicznej (scenariusz A i B; Rys. 23).



Rys. 24. Prognoza dotycząca stanu wód o zwierciadle swobodnym (gruntowych) na okres 01.07.2026–31.07.2026 r. – stacja hydrogeologiczna nr I/920/4 w miejscowości Sepno (woj. wielkopolskie). **A** – prognoza przy założeniu scenariusza A; **B** – prognoza przy założeniu scenariusza B

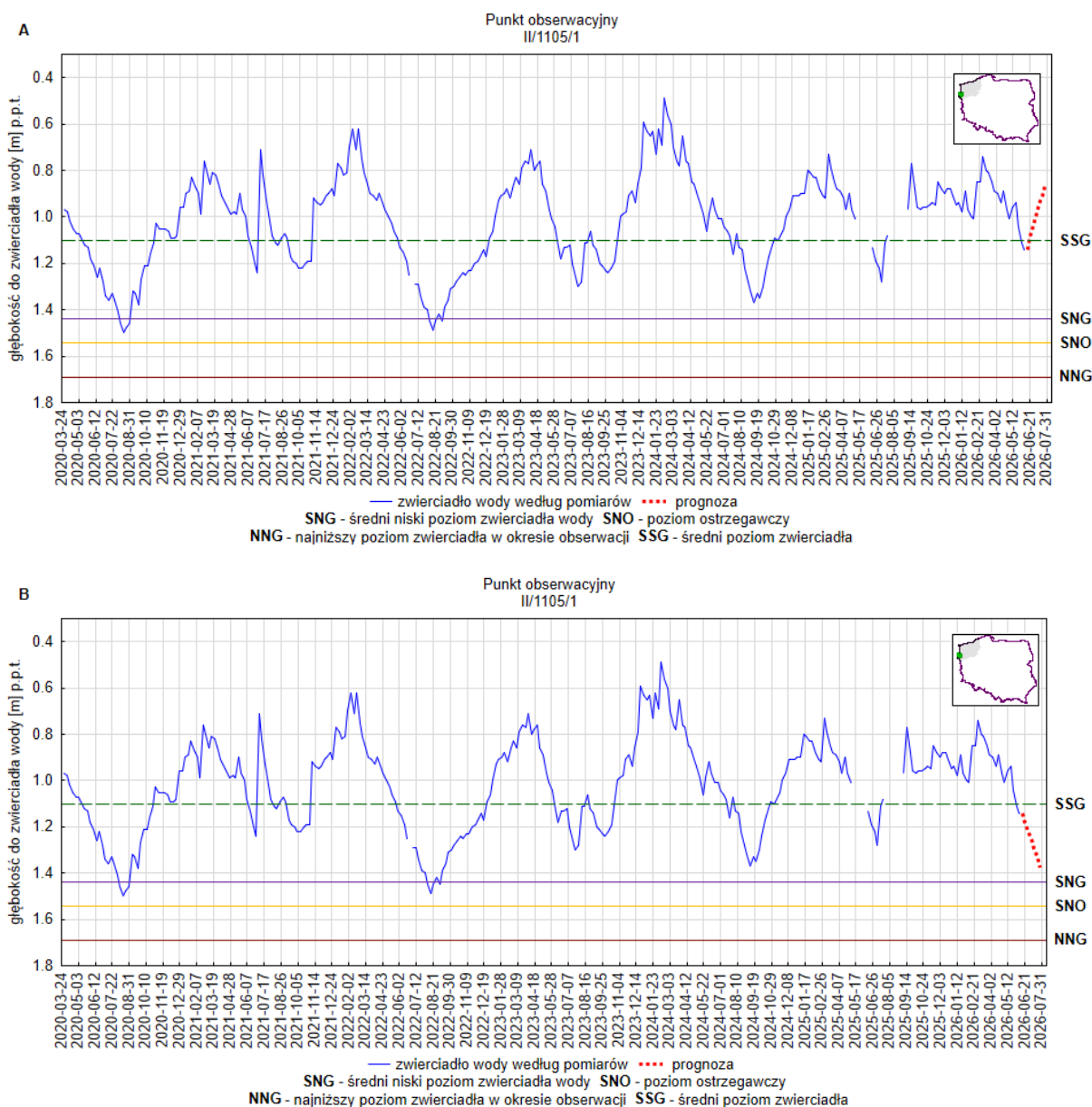
W punkcie obserwacyjnym nr I/920/4 w miejscowości Sepno w województwie wielkopolskim nie prognozuje się wystąpienia niżówki hydrogeologicznej (scenariusz A i B; Rys. 24).

Województwo zachodniopomorskie



Rys. 25. Prognoza dotycząca stanu wód o zwierciadle swobodnym (gruntowych) na okres 01.07.2026–31.07.2026 r. – stacja hydrogeologiczna nr II/417/1 w miejscowości Turowo (woj. zachodniopomorskie). **A** – prognoza przy założeniu scenariusza A; **B** – prognoza przy założeniu scenariusza B

W punkcie obserwacyjnym nr II/417/1 w miejscowości Turowo w województwie zachodniopomorskim prognozuje się kontynuację niżówki hydrogeologicznej (scenariusz A i B; Rys. 25).



Rys. 26. Prognoza dotycząca stanu wód o zwierciadle swobodnym (gruntowych) na okres 01.07.2026–31.07.2026 r. – stacja hydrogeologiczna nr II/1105/1 w miejscowości Ognica (woj. zachodniopomorskie). **A** – prognoza przy założeniu scenariusza A; **B** – prognoza przy założeniu scenariusza B

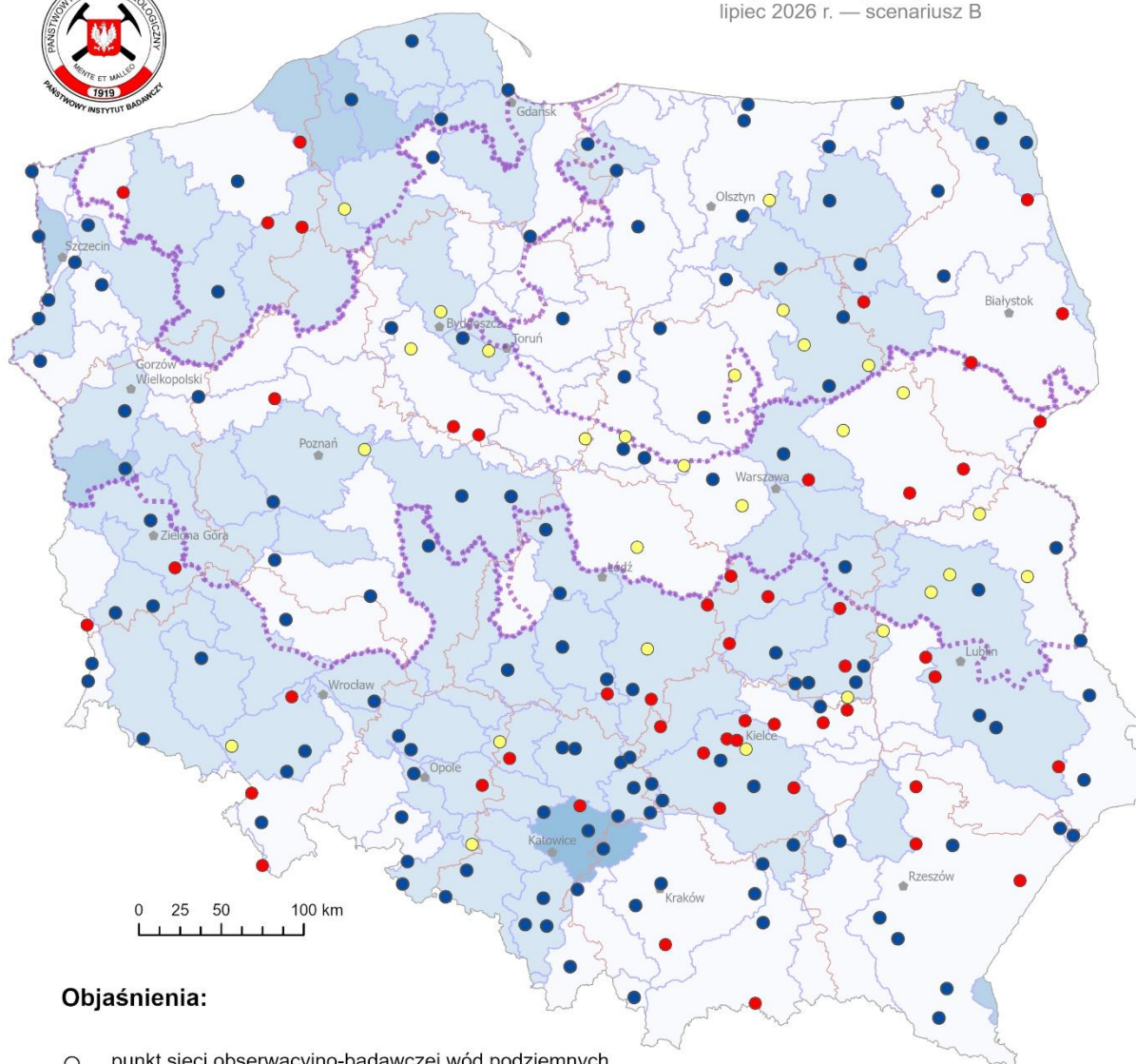
W punkcie obserwacyjnym nr II/1105/1 w miejscowości Ognica w województwie zachodniopomorskim nie prognozuje się wystąpienia niżówki hydrogeologicznej (scenariusz A i B; Rys. 26).

Część II

Prognoza zmian zasobów wód podziemnych



Prognoza hydrogeologiczna PSG 6/2026
lipiec 2026 r. — scenariusz B



Objaśnienia:

- punkt sieci obserwacyjno-badawczej wód podziemnych

Prognoza stanu rezerw zasobów zmiennych wód podziemnych pierwszego poziomu wodonośnego w stosunku do NNG:

- brak zagrożenia rezerw zasobów
- zagrożenie rezerw zasobów
- brak rezerw zasobów

⋯ granica regionu ze średnim odpływem podziemnym z wielolecia 1951—1980 (poniżej 100 m³/d km²) na podst. Orsztynowicz, 1988

— granica obszaru bilansowego

— granica województwa

Moduł zasobów dyspozycyjnych* wód podziemnych w obszarze bilansowym [m³/24h/km²]**:

- <100
- 100-200
- 200-300
- >300

*zgodnie z definicją w Rozporządzeniu Ministra Środowiska z dnia 18 listopada 2016 r. w sprawie dokumentacji hydrogeologicznej i dokumentacji geologiczno-inżynierskiej (Dz. U. z 2016 r. poz. 2033)

**według Bazy danych zasobów dyspozycyjnych na obszarze kraju (PIG-PIB); stan na grudzień 2025 r.

Rys. 27. Prognoza poziomu rezerw zasobów zmiennych wód podziemnych na lipiec 2026 r. według scenariusza B w odniesieniu do najniższego zaobserwowanego w wieloleciu położenia zwierciadła wód (NNG)

Rysunek nr 27 przedstawia prognozę zmian poziomu rezerw wód podziemnych w okresie od 1 do 31 lipca 2026 r. w odniesieniu do najniższego zaobserwowanego w wieloleciu położenia zwierciadła płytkich wód podziemnych. Jest to interpretacja prognozy dotycząca scenariusza B, czyli zakładającego deficyt opadów atmosferycznych w nadchodzących tygodniach.

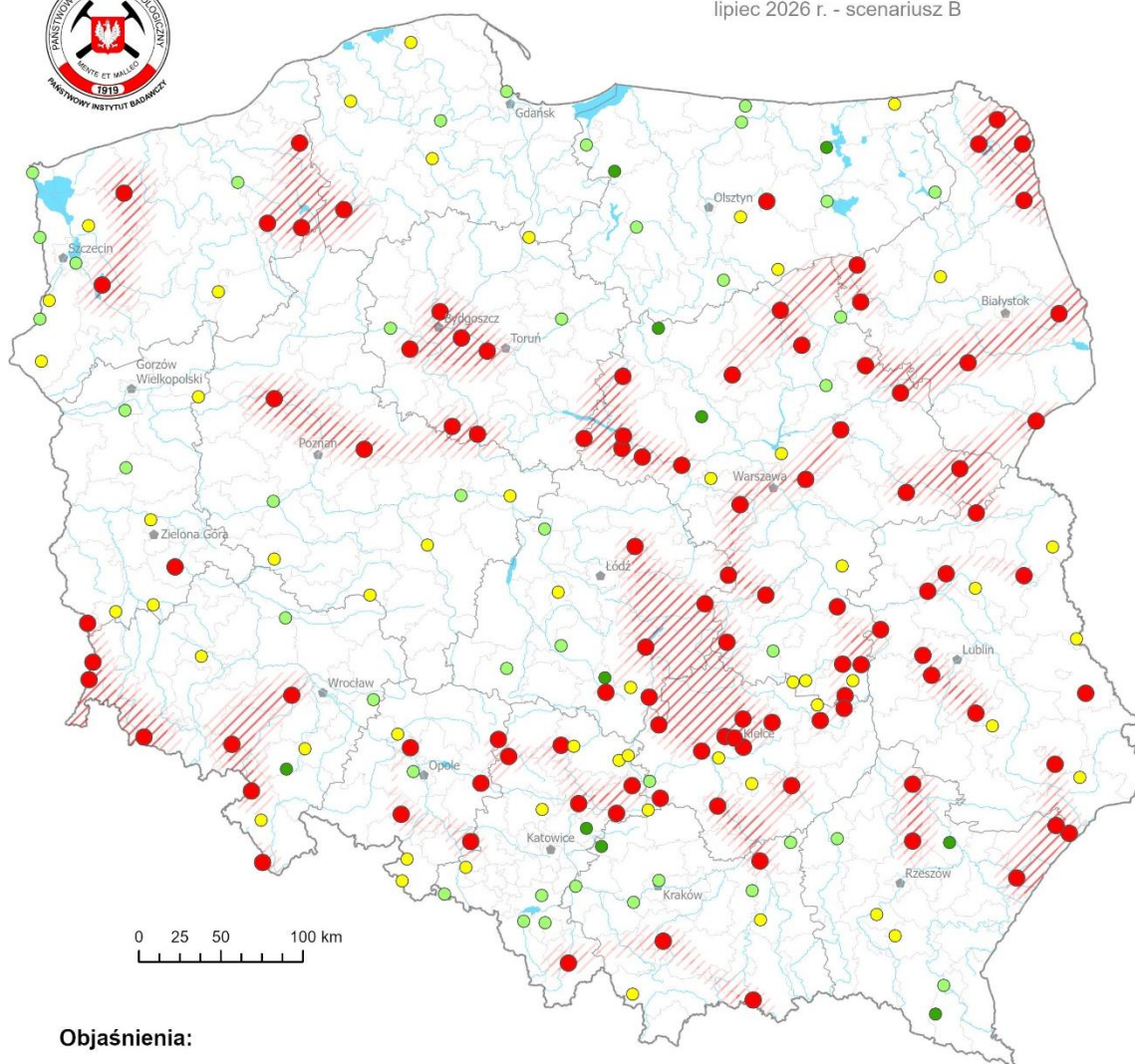
Z przeprowadzonych analiz wynika, że w okresie objętym prognozą na przeważającym obszarze kraju stan rezerw zasobów zmiennych kształtować się będzie na bezpiecznym poziomie (wskaźnik R_z większy niż 1). Jednocześnie prognozuje się, że brak rezerw zasobów w odniesieniu do najniższego obserwowanego w wieloleciu położenia zwierciadła wód podziemnych może występować głównie w województwie podlaskim, w centralnej i południowej części województwa mazowieckiego, w województwie świętokrzyskim, zachodnioporskim oraz, w mniejszym stopniu, w województwach: lubelskim, dolnośląskim i podkarpackim. Ponadto lokalnie brak rezerw może sporadycznie występować również w innych niż wymienione obszarach kraju.

Część III

Prognoza zagrożeń wód podziemnych



Prognoza hydrogeologiczna PSG 6/2026
lipiec 2026 r. - scenariusz B



Objaśnienia:

○ punkt sieci obserwacyjno-badawczej wód podziemnych

rzeka

Ocena zagrożenia hydrogeologicznego

jezioro, zbiornik wodny

Ocena zagrożenia wystąpienia zjawiska niżówki hydrogeologicznej na podstawie prognozowanych wartości średnich położenia zwierciadła wody dla określonego miesiąca według scenariusza B:

granica województwa

granica powiatu

bardzo niski stopień zagrożenia - stan wyższy niż SSG

niski stopień zagrożenia - stan wyższy niż SNG i jednocześnie niższy lub równy SSG

umiarkowany stopień zagrożenia - stan wyższy niż SNO i jednocześnie niższy lub równy SNG

wysoki stopień zagrożenia - stan równy lub niższy niż SNO

obszar o wysokim prawdopodobieństwie wystąpienia niżówki hydrogeologicznej (prognoza według scenariusza B)

Rys. 28. Prognoza zagrożeń wód podziemnych - występowanie niżówki hydrogeologicznej w okresie od 01.07.2026 r. do 31.07.2026 r. według scenariusza B

Rysunek nr 28 przedstawia prognozę występowania niżówki hydrogeologicznej według scenariusza B, zakładającego deficyt opadów atmosferycznych w najbliższych tygodniach. Według tego wariantu w okresie od 1 do 31 lipca 2026 r. prognozuje się wystąpienie niżówki hydrogeologicznej w skali regionalnej w obrębie województw: mazowieckiego, podlaskiego, świętokrzyskiego, lubelskiego oraz łódzkiego, dolnośląskiego, opolskiego, śląskiego, małopolskiego, podkarpackiego, wielkopolskiego, kujawsko-pomorskiego, zachodniopomorskiego i pomorskiego.

Obniżenie zwierciadła płytkich wód podziemnych poniżej stanu niskiego ostrzegawczego (SNO) w skali lokalnej może występować także na innych niż wymienione powyżej obszarach kraju.

W związku z obecną i prognozowaną sytuacją hydrogeologiczną państwowa służba geologiczna wydaje Ostrzeżenie hydrogeologiczne nr 6/2026, zgodnie z którym w lipcu 2026 r. stan zagrożenia hydrogeologicznego będzie obowiązywać dla województw: mazowieckiego, podlaskiego, świętokrzyskiego, lubelskiego oraz łódzkiego, dolnośląskiego, opolskiego, śląskiego, małopolskiego, podkarpackiego, wielkopolskiego, kujawsko-pomorskiego, zachodniopomorskiego i pomorskiego.

Czas aktualizacji prognozy będzie dostosowany do wyników bieżącej analizy sytuacji hydrogeologicznej w kraju.

Niniejsza prognoza publikowana jest na stronie internetowej państwowej służby geologicznej pod adresem: <http://www.pgi.gov.pl/psh/psh-2/aktualna-sytuacja-hydrogeologiczna.html>.



Państwowy Instytut Geologiczny
Państwowy Instytut Badawczy

państwowa służba
geologiczna

ul. Rakowiecka 4,
00-975 Warszawa

pgi.gov.pl

komprog@pgi.gov.pl